

Categorias, álgebra homológica, categorias derivadas

slides de aula

Sasha Anan'in

ICMC, USP, São Carlos

25/11/2015 – 09/12/2015

5. Categorias derivadas

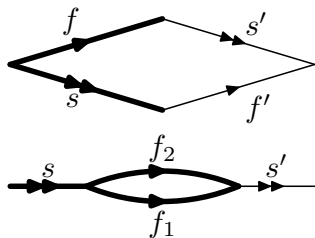
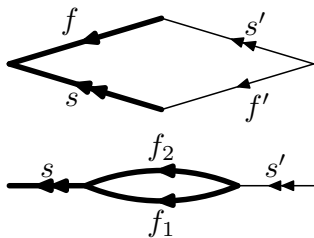
5.1. Categoria de frações. Seja \mathcal{C} uma categoria e seja $S \subset \text{Mor } \mathcal{C}$ uma coleção de morfismos. Procuramos descrever explicitamente a **categoria de frações** $\mathcal{C}[S^{-1}]$, ou seja, um funtor universal $Q : \mathcal{C} \rightarrow \mathcal{Q}$ que manda todo $s \in S$ para um isomorfismo em \mathcal{Q} . Em geral, este problema é complicado. Mas, se exigirmos algumas condições que permitam escrever qualquer coleção finita de “frações” na forma com um “denominador comum”, o problema pode ser resolvido. No que se segue, introduzimos as condições mencionadas e construímos a categoria de frações. Os resultados serão aplicados às categorias $K^* \mathcal{C}$ e $\text{Kom}^* \mathcal{C}$.

Sem perda de generalidade, vamos supor que S é fechado relativamente à composição (quando definida) e que $1_c \in S$ para todo $c \in \mathcal{C}$. Para lidar com os denominadores à direita, precisamos das seguintes duas condições:

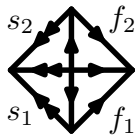
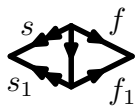
- A.** Para todos $f \in \text{Mor } \mathcal{C}$ e $s \in S$, existem $f' \in \text{Mor } \mathcal{C}$ e $s' \in S$ tais que $fs' = sf'$.
- B.** Para todos $f_1, f_2 \in \text{Mor } \mathcal{C}$ e $s \in S$ tais que $sf_1 = sf_2$, existe $s' \in S$ tal que $f_1s' = f_2s'$.

Informalmente, a condição A permite reescrever $s^{-1}f$ na forma $f's'^{-1}$.

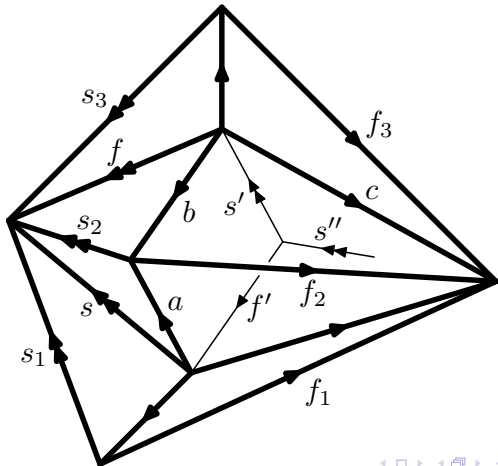
Nos diagramas relacionados às categorias de frações, exibimos morfismos de S utilizando setas duplas e morfismos a ser construídos utilizando setas mais finas. Assim, os diagramas abaixo à esquerda exibem as condições A e B. Os diagramas abaixo à direita ilustram as condições A' e B', duais a A e B.

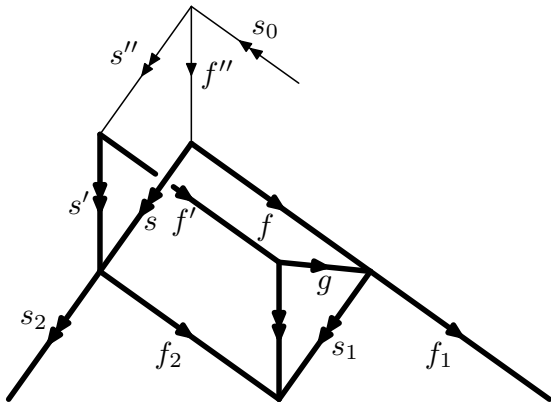


Supondo que as condições A e B são válidas, vamos construir a categoria $\mathcal{C}[S^{-1}]$. Os objetos são os mesmos como em \mathcal{C} . Um morfismo $\varphi \in \mathcal{C}[S^{-1}](c_1, c_2)$ é um par de morfismos em \mathcal{C} do tipo $s : c \rightarrow c_1$ e $f : c \rightarrow c_2$, denotado por $\varphi := fs^{-1}$ e considerado módulo a seguinte relação de equivalência.

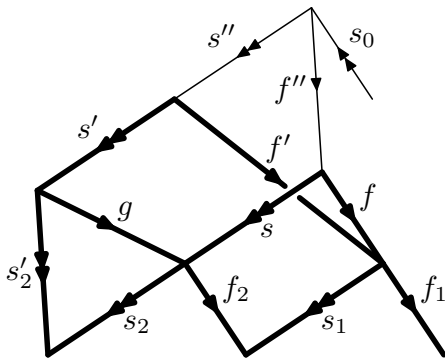


Se o primeiro diagrama à esquerda é comutativo, dizemos que fs^{-1} é equivalente a $f_1s_1^{-1}$ e escrevemos $f_1s_1^{-1} \sim fs^{-1}$. A relação \sim introduzida deste modo é reflexiva, mas não é simétrica. A relação simétrica (e reflexiva) $f_1s_1^{-1} \sim f_2s_2^{-1}$ corresponde ao segundo diagrama comutativo à esquerda. Provemos que \sim é transitiva. A comutatividade do diagrama

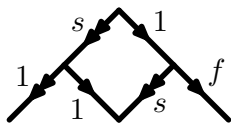
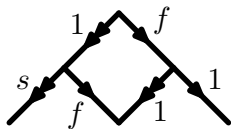
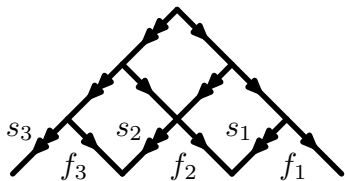




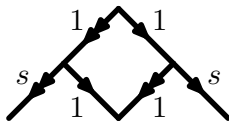
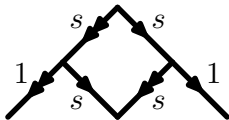
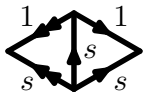
O diagrama acima trata do caso 1 (tome $g = 1$) e do caso 2. Dado este diagrama comutativo sem setas finas, construímos, pela condição A, setas f'' e $s'' \in S$ tais que $s's'' = sf''$. Sendo $s_1(ff'') = s_1(gf's'')$, pela condição B, construímos uma seta $s_0 \in S$ tal que $(ff'')s_0 = (gf's'')s_0$. Denotando por s'' a seta $s''s_0$ e por f'' a seta $f''s_0$, obtemos o diagrama comutativo com setas finas (a seta anterior s_0 está desconsiderada). Deste diagrama, é fácil ver que $(f_1f)(s_2s)^{-1} \sim (f_1gf')(s_2s')^{-1}$.



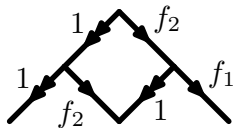
O diagrama acima, comutativo sem setas finas, trata do caso 3. Pela condição A, construímos setas f'' e $s'' \in S$ tais que $gs's'' = sf''$. Observando que $s_1(ff'') = s_1(f's'')$, pela condição B, construímos uma seta $s_0 \in S$ tal que $(ff'')s_0 = (f's'')s_0$. Denotando por s'' a seta $s''s_0$ e por f'' a seta $f''s_0$, obtemos o diagrama comutativo com setas finas (e com a seta s_0 retirada). Agora, é fácil ver que $(f_1f)(s_2s)^{-1} \sim (f_1f')(s'_2s')^{-1}$.



O diagrama acima à esquerda mostra que a multiplicação introduzida é associativa. Dois diagramas acima à direita mostram que os morfismos do tipo $1_c 1_c^{-1}$ servem como unidades. Assim acabamos de construir a categoria $\mathcal{C}[S^{-1}]$.



O diagrama acima à esquerda mostra que $ss^{-1} \sim 11^{-1}$ para todo $s \in S$. Agora dois diagramas acima à direita mostram que o morfismo $1s^{-1}$ é o inverso de $s1^{-1}$.

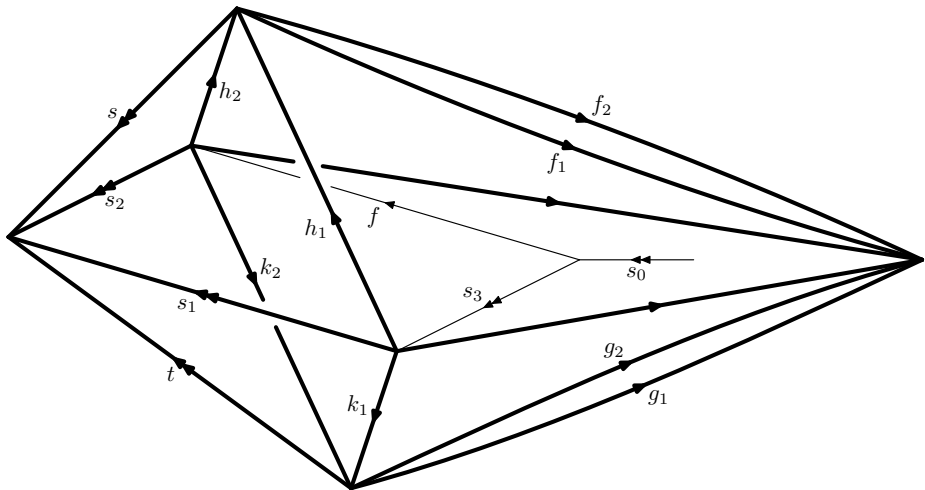


Definimos $Qf := f1^{-1}$. O diagrama à esquerda mostra que Q é um funtor $Q : \mathcal{C} \rightarrow \mathcal{C}[S^{-1}]$. Já sabemos que Qs é um isomorfismo para todo $s \in S$.

Para concluir que a categoria $\mathcal{C}[S^{-1}]$ é a desejada, basta observar que, após aplicar qualquer funtor que manda todo $s \in S$ para um isomorfismo, a equivalência se torna a igualdade e o produto definido acima se transforma no produto usual.

Utilizando a condição A e a definição da equivalência, é fácil ver que qualquer coleção finita de morfismos em $\mathcal{C}[S^{-1}]$ com a mesma origem pode ser escrita com um denominador comum, isto é, para quaisquer morfismos $f_j s_j^{-1} : c \rightarrow c_j$ em $\mathcal{C}[S^{-1}]$, $j = 1, 2, \dots, n$, existem morfismos g_j 's e $s \in S$ em \mathcal{C} tais que $f_j s_j^{-1} = g_j s^{-1}$ em $\mathcal{C}[S^{-1}]$ para todo j .

Suponhamos que \mathcal{C} é uma **Ab**-categoria. Sejam $\varphi_1, \varphi_2 \in \mathcal{C}[S^{-1}](c, c')$. Escrevemos φ_1 e φ_2 com um denominador comum, $\varphi_j = f_j s^{-1}$, $s \in S$, e definimos $\varphi_1 + \varphi_2 := (f_1 + f_2) s^{-1}$. Vamos verificar que essa definição independe da escolha de denominador comum. Suponhamos que $f_j s^{-1} \sim g_j t^{-1}$ para $t \in S$ e todo $j = 1, 2$. Então temos um diagrama comutativo sem setas finas, onde as setas f_1 e g_1 participam nas faces

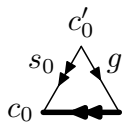


frontais e as setas f_2 e g_2 participam nas faces de fundos. Pela condição A, encontramos setas f e $s_3 \in S$ tais que $s_1 s_3 = s_2 f$. Temos $s(h_1 s_3) = s(h_2 f)$ e $t(k_1 s_3) = t(k_2 f)$. Utilizando duas vezes a condição B, podemos supor que o diagrama com setas finas (e sem a seta s_0) é

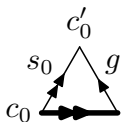
essencialmente comutativo. Daí segue que $(f_1 + f_2)s^{-1} \sim (g_1 + g_2)t^{-1}$. Claro que, nesta situação, o funtor $Q : \mathcal{C} \rightarrow \mathcal{C}[S^{-1}]$ é aditivo.

Sejam dadas uma categoria \mathcal{C} e uma coleção de morfismos $S \subset \text{Mor } \mathcal{C}$ que satisfaz as condições A e B. Seja $\mathcal{C}_0 \subset \mathcal{C}$ uma subcategoria completa tal que a coleção de morfismos $S_0 = S \cap \text{Mor } \mathcal{C}_0$ também satisfaz as condições A e B. Adicionalmente, suponhamos que vale a condição

C. Para todo morfismo $s : c \rightarrow c_0$ em S com $c_0 \in \mathcal{C}_0$, existe um morfismo $g : c'_0 \rightarrow c$ em \mathcal{C} com $c'_0 \in \mathcal{C}_0$ tal que $sg \in S$.

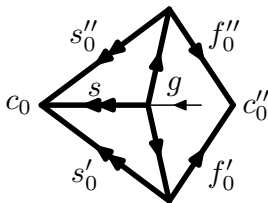


O diagrama à esquerda exibe a condição C. O diagrama à direita trata da condição C', dual a C. Nesta situação, obtemos um funtor $I : \mathcal{C}_0[S_0^{-1}] \rightarrow \mathcal{C}[S^{-1}]$ no diagrama comutativo abaixo à esquerda pela universalidade de $\mathcal{C}_0[S_0^{-1}]$.



$$\begin{array}{ccc} \mathcal{C}_0 & \longrightarrow & \mathcal{C} \\ \downarrow & & \downarrow \\ \mathcal{C}_0[S_0^{-1}] & \xrightarrow{I} & \mathcal{C}[S^{-1}] \end{array}$$

Provaremos que I é a equivalência com sua imagem, ou seja, que a categoria $\mathcal{C}_0[S_0^{-1}]$ é de fato uma subcategoria completa em $\mathcal{C}[S^{-1}]$.



Pelo Critério 1.8, basta mostrar que, para quaisquer

$c_0, c_0'' \in \mathcal{C}_0$, a função $I : \mathcal{C}_0[S_0^{-1}](c_0, c_0'') \rightarrow \mathcal{C}[S^{-1}](c_0, c_0'')$ é bijetora. Pela condição C, para todo morfismo $fs^{-1} \in \mathcal{C}[S^{-1}](c_0, c_0'')$, onde $s : c \rightarrow c_0$ pertence a S , podemos encontrar um morfismo $g : c'_0 \rightarrow c$ em \mathcal{C} com $c'_0 \in \mathcal{C}_0$ tal que $sg \in S_0$. Logo, $fs^{-1} \sim (fg)(sg)^{-1}$. Concluimos que I é sobrejetivo no nível de morfismos. Sejam dados morfismos $f'_0 s'_0{}^{-1}, f''_0 s''_0{}^{-1} \in \mathcal{C}_0[S_0^{-1}](c_0, c_0'')$ equivalentes em $\mathcal{C}[S^{-1}]$, $f'_0 s'_0{}^{-1} \sim f''_0 s''_0{}^{-1}$. Isto significa que o diagrama acima à direita sem seta fina é comutativo. Pela condição C, encontramos uma seta $g \in \text{Mor } \mathcal{C}$ tal que $sg \in S_0$. O resto segue do diagrama ■

5.2. Cone e cilindro. Agora estudaremos em detalhes as categorias $\text{Kom}^* \mathcal{C}$ e $\text{K}^* \mathcal{C}$, onde \mathcal{C} é uma categoria abeliana. Definamos o funtor de **shift por $n \in \mathbb{Z}$** . Seja $K^\bullet \in \text{Kom}^* \mathcal{C}$. Façamos $K[n]^i := K^{n+i}$ e $d_{K[n]^\bullet}^i := (-1)^n d_{K^\bullet}^{n+i}$. Para um morfismo $f^\bullet : K^\bullet \rightarrow L^\bullet$ em $\text{Kom}^* \mathcal{C}$, façamos $f[n]^i := f^{n+i}$. É imediato que $[n]$ é um funtor e que morfismos homotópicos $f^\bullet \sim g^\bullet$ geram morfismos homotópicos $f[n]^\bullet \sim g[n]^\bullet$.

5.2.1. Observação. *Pela convenção presente logo após a Definição 2.17, $\text{Ker}(-h) = \text{Ker } h$, $\ker(-h) = \ker h$, $\text{Co}(-h) = \text{Co } h$, $\text{co}(-h) = \text{co } h$ e $\text{Im}(-h) = \text{Im } h$ para todo morfismo h em \mathcal{C} . Daí segue*

(vide o Lema 3.2.4 e as definições dos funtores B^\bullet , Z^\bullet , H^\bullet e das correspondentes transformações naturais j_{K^\bullet} , α_{K^\bullet} , β_{K^\bullet}) que $B^i K[n]^\bullet = B^{n+i} K^\bullet$, $Z^i K[n]^\bullet = Z^{n+i} K^\bullet$, $H^i K[n]^\bullet = H^{n+i} K^\bullet$, $\text{Co } d_{K[n]^\bullet}^i = \text{Co } d_{K^\bullet}^{n+i}$, $j_{K[n]^\bullet}^i = (-1)^n j_{K^\bullet}^{n+i}$, $\alpha_{K[n]^\bullet}^i = \alpha_{K^\bullet}^{n+i}$, $\beta_{K[n]^\bullet}^i = (-1)^n \beta_{K^\bullet}^{n+i}$, o morfismo $K[n]^{i-1} \rightarrow B^i K[n]^\bullet$ coincide com o morfismo $K^{n+i-1} \rightarrow B^{n+i} K^\bullet$, o morfismo $Z^i K[n]^\bullet \rightarrow H^i K[n]^\bullet$ coincide com o morfismo $Z^{n+i} K^\bullet \rightarrow H^{n+i} K^\bullet$ e o morfismo $K[n]^i \rightarrow \text{Co } d_{K[n]^\bullet}^{i-1}$ coincide com o morfismo $K^{n+i} \rightarrow \text{Co } d_{K^\bullet}^{n+i-1}$ ■

A qualquer morfismo $f^\bullet: K^\bullet \rightarrow L^\bullet$ em $\text{Kom}^* \mathcal{C}$ associamos o **cone** $\text{C}f^\bullet \in \text{Kom}^* \mathcal{C}$ de f^\bullet e o **cilindro** $\text{Cyl } f^\bullet \in \text{Kom}^* \mathcal{C}$ de f^\bullet :

$$\text{C}f^i := \begin{matrix} K[1]^i \\ \oplus \\ L^i \end{matrix}, \quad d_{\text{C}f^\bullet}^\bullet := \begin{bmatrix} d_{K[1]^\bullet}^\bullet & 0 \\ f[1]^\bullet & d_{L^\bullet}^\bullet \end{bmatrix},$$

$$\text{Cyl } f^i := \begin{matrix} K^i \\ \oplus \\ \text{C}f^i \end{matrix} = \begin{matrix} K^i \\ \oplus \\ K[1]^i \\ \oplus \\ L^i \end{matrix}, \quad d_{\text{Cyl } f^\bullet}^\bullet := \begin{bmatrix} d_{K^\bullet}^\bullet & -1 & 0 \\ 0 & d_{K[1]^\bullet}^\bullet & 0 \\ 0 & f[1]^\bullet & d_{L^\bullet}^\bullet \end{bmatrix}.$$

O fato que $Cf^\bullet, \text{Cyl } f^\bullet \in \text{Kom}^* \mathcal{C}$ segue de $f[1]^{i+1} d_{K[1]}^i + d_L^{i+1} f[1]^i = -f^{i+2} d_K^{i+1} + d_L^{i+1} f^{i+1} = 0$ e de $-d_K^{i+1} - d_{K[1]}^i = 0$. É fácil ver que as setas nas linhas do diagrama

$$\begin{array}{ccccccc}
 0 & \leftarrow & K[1]^\bullet & \xleftarrow{\delta_{f^\bullet}^\bullet := [1 \ 0]} & Cf^\bullet & \xleftarrow{\begin{bmatrix} 0 \\ 1 \end{bmatrix}} & L^\bullet \leftarrow 0 \\
 & & & & \downarrow 1_{Cf^\bullet} & & \downarrow \alpha_{f^\bullet}^\bullet := \begin{bmatrix} 0 \\ 0 \\ 1 \end{bmatrix} \\
 & & & & & \xleftarrow{\begin{bmatrix} 0 & 1 & 0 \\ 0 & 0 & 1 \end{bmatrix}} & & \\
 0 & \leftarrow & Cf^\bullet & \xleftarrow{\begin{bmatrix} 0 & 1 & 0 \\ 0 & 0 & 1 \end{bmatrix}} & \text{Cyl } f^\bullet & \leftarrow & K^\bullet \leftarrow 0 \\
 & & & & \downarrow \beta_{f^\bullet}^\bullet := [f^\bullet \ 0 \ 1] & & \downarrow \begin{bmatrix} 1 \\ 0 \\ 0 \end{bmatrix} \\
 & & & & & & & \downarrow 1_{K^\bullet} \\
 & & & & & & L^\bullet & \xleftarrow{f^\bullet} & K^\bullet
 \end{array}$$

chamado **C-Cyl-diagrama**, são morfismos de complexos. Obviamente, estas linhas são exatas. As setas $\alpha_{f^\bullet}^\bullet$ e $\beta_{f^\bullet}^\bullet$ no diagrama comutativo também são morfismos de complexos, pois

$$[f^\bullet \ 0 \ 1] \begin{bmatrix} d_K^\bullet & -1 & 0 \\ 0 & d_{K[1]}^\bullet & 0 \\ 0 & f[1]^\bullet & d_L^\bullet \end{bmatrix} = [f^\bullet d_K^\bullet \ -f[1]^\bullet + f[1]^\bullet d_L^\bullet] = d_L^\bullet [f^\bullet \ 0 \ 1].$$

$$\begin{array}{ccc}
 K_1^\bullet & \xrightarrow{f_1^\bullet} & L_1^\bullet \\
 \downarrow k^\bullet & & \downarrow l^\bullet \\
 K_2^\bullet & \xrightarrow{f_2^\bullet} & L_2^\bullet
 \end{array}$$

O cone e o cilindro são funtores e o C-Cyl-diagrama é functorial em f . Realmente, seja $m := (k^\bullet, l^\bullet)$ um morfismo entre as setas $f_1^\bullet: K_1^\bullet \rightarrow L_1^\bullet$ e $f_2^\bullet: K_2^\bullet \rightarrow L_2^\bullet$. Definamos

$Cm := \begin{bmatrix} k[1]^\bullet & 0 \\ 0 & l^\bullet \end{bmatrix}$ e $Cyl m := \begin{bmatrix} k^\bullet & 0 & 0 \\ 0 & k[1]^\bullet & 0 \\ 0 & 0 & l^\bullet \end{bmatrix}$. Os fatos seguem

por uma verificação direta.

Obviamente, $\beta_{f^\bullet}^\bullet \alpha_{f^\bullet}^\bullet = 1_{L^\bullet}$. Para a homotopia h^\bullet dada por $h^\bullet := \begin{bmatrix} 0 & 0 & 0 \\ 1 & 0 & 0 \\ 0 & 0 & 0 \end{bmatrix}$, temos

$$\begin{aligned}
 & 1_{Cyl f^\bullet} + d_{Cyl f^\bullet}^\bullet h^\bullet + h^\bullet d_{Cyl f^\bullet}^\bullet = \\
 & = \begin{bmatrix} 1 & 0 & 0 \\ 0 & 1 & 0 \\ 0 & 0 & 1 \end{bmatrix} + \begin{bmatrix} -1 & 0 & 0 \\ -d_{K^\bullet}^\bullet & 0 & 0 \\ f^\bullet & 0 & 0 \end{bmatrix} + \begin{bmatrix} 0 & 0 & 0 \\ d_{K^\bullet}^\bullet & -1 & 0 \\ 0 & 0 & 0 \end{bmatrix} = \begin{bmatrix} 0 & 0 & 0 \\ 0 & 0 & 0 \\ f^\bullet & 0 & 1 \end{bmatrix} = \alpha_{f^\bullet}^\bullet \beta_{f^\bullet}^\bullet.
 \end{aligned}$$

Vamos verificar que o morfismo composto $Cf^\bullet \rightarrow K[1]^\bullet \xrightarrow{f[1]^\bullet} L[1]^\bullet$ é homotópico a 0 com a homotopia h_1 de Cf^\bullet para $L[1]^\bullet$ dada por $h_1^\bullet = [0 \ 1]$. Realmente, $d_{L[1]^\bullet}^\bullet h_1^\bullet + h_1^\bullet d_{Cf^\bullet}^\bullet = [f[1]^\bullet \ -d_{L[1]^\bullet}^\bullet + d_{L[1]^\bullet}^\bullet] = [f[1]^\bullet \ 0]$ é igual ao morfismo composto em questão.

Resumindo, chegamos ao

5.2.2. Lema. C e Cyl são funtores. O C-Cyl-diagrama é comutativo, functorial em f^\bullet e com linhas exatas. Além disso, $\beta_{f^\bullet}^\bullet \alpha_{f^\bullet}^\bullet = 1_{L^\bullet}$.

$\alpha_{f^\bullet}^\bullet \beta_{f^\bullet}^\bullet \sim 1_{\text{Cyl } f^\bullet}$ e a composta $C f^\bullet \rightarrow K[1]^\bullet \xrightarrow{f[1]^\bullet} L[1]^\bullet$ é homotópica a 0 ■

Seja $h^\bullet: f^\bullet \rightarrow g^\bullet$ uma homotopia entre os morfismos $f^\bullet, g^\bullet: K^\bullet \rightarrow L^\bullet$, isto é, $f^\bullet = g^\bullet + d_{L^\bullet}^\bullet h^\bullet + h^\bullet d_{K^\bullet}^\bullet$. Definamos $C h^\bullet := \begin{bmatrix} 1 & 0 \\ h^\bullet & 1 \end{bmatrix}$ e $\text{Cyl } h^\bullet := \begin{bmatrix} 1 & 0 & 0 \\ 0 & 1 & 0 \\ 0 & h^\bullet & 1 \end{bmatrix}$.

5.2.3. Lema. *Sejam $f^\bullet, g^\bullet: K^\bullet \rightarrow L^\bullet$ morfismos e seja $h^\bullet: f^\bullet \rightarrow g^\bullet$ uma homotopia. Então $C h^\bullet$ e $\text{Cyl } h^\bullet$ são morfismos e os diagramas*

$$\begin{array}{ccc} 0 \leftarrow K[1]^\bullet \leftarrow C f^\bullet \leftarrow L^\bullet \leftarrow 0 & & 0 \leftarrow C f^\bullet \leftarrow \text{Cyl } f^\bullet \leftarrow K^\bullet \leftarrow 0 \\ 1_{K[1]^\bullet} \downarrow & C h^\bullet \downarrow & 1_{L^\bullet} \downarrow & & C h^\bullet \downarrow & \text{Cyl } h^\bullet \downarrow & 1_{K^\bullet} \downarrow \\ 0 \leftarrow K[1]^\bullet \leftarrow C g^\bullet \leftarrow L^\bullet \leftarrow 0 & & 0 \leftarrow C g^\bullet \leftarrow \text{Cyl } g^\bullet \leftarrow K^\bullet \leftarrow 0 \end{array}$$

são comutativos.

Demonstração. De $d_{K[1]^\bullet}^\bullet = -d_{K^\bullet}^\bullet$ segue a igualdade $g[1]^\bullet + d_{L^\bullet}^\bullet h^\bullet = h^\bullet d_{K[1]^\bullet}^\bullet + f[1]^\bullet$. Portanto,

$$\begin{bmatrix} d_{K[1]^\bullet}^\bullet & 0 \\ g[1]^\bullet & d_{L^\bullet}^\bullet \end{bmatrix} \begin{bmatrix} 1 & 0 \\ h^\bullet & 1 \end{bmatrix} = \begin{bmatrix} d_{K[1]^\bullet}^\bullet & 0 \\ g[1]^\bullet + d_{L^\bullet}^\bullet h^\bullet & d_{L^\bullet}^\bullet \end{bmatrix} = \begin{bmatrix} d_{K[1]^\bullet}^\bullet & 0 \\ h^\bullet d_{K[1]^\bullet}^\bullet + f[1]^\bullet & d_{L^\bullet}^\bullet \end{bmatrix} = \begin{bmatrix} 1 & 0 \\ h^\bullet & 1 \end{bmatrix} \begin{bmatrix} d_{K[1]^\bullet}^\bullet & 0 \\ f[1]^\bullet & d_{L^\bullet}^\bullet \end{bmatrix},$$

$$\begin{aligned} & \begin{bmatrix} d_K^\bullet & -1 & 0 \\ 0 & d_{K[1]}^\bullet & 0 \\ 0 & g[1]^\bullet & d_L^\bullet \end{bmatrix} \begin{bmatrix} 1 & 0 & 0 \\ 0 & 1 & 0 \\ 0 & h^\bullet & 1 \end{bmatrix} = \begin{bmatrix} d_K^\bullet & -1 & 0 \\ 0 & d_{K[1]}^\bullet & 0 \\ 0 & g[1]^\bullet + d_L^\bullet h^\bullet & d_L^\bullet \end{bmatrix} = \\ & = \begin{bmatrix} d_K^\bullet & -1 & 0 \\ 0 & d_{K[1]}^\bullet & 0 \\ 0 & h^\bullet d_{K[1]}^\bullet + f[1]^\bullet & d_L^\bullet \end{bmatrix} = \begin{bmatrix} 1 & 0 & 0 \\ 0 & 1 & 0 \\ 0 & h^\bullet & 1 \end{bmatrix} \begin{bmatrix} d_K^\bullet & -1 & 0 \\ 0 & d_{K[1]}^\bullet & 0 \\ 0 & f[1]^\bullet & d_L^\bullet \end{bmatrix}. \end{aligned}$$

Além disso, $\begin{bmatrix} 1 & 0 \\ h^\bullet & 1 \end{bmatrix} \begin{bmatrix} 0 & 1 & 0 \\ 0 & 0 & 1 \end{bmatrix} = \begin{bmatrix} 0 & 1 & 0 \\ 0 & h^\bullet & 1 \end{bmatrix} = \begin{bmatrix} 0 & 1 & 0 \\ 0 & 0 & 1 \end{bmatrix} \begin{bmatrix} 1 & 0 & 0 \\ 0 & 1 & 0 \\ 0 & h^\bullet & 1 \end{bmatrix}$ ■

5.2.4. Lema. *Seja $f^\bullet: K^\bullet \rightarrow L^\bullet$ um morfismo. Então o morfismo*

$H^i C f^\bullet \rightarrow H^{i+1} K^\bullet$ *induzido pela seqüência curta exata*

$0 \rightarrow K^\bullet \rightarrow \text{Cyl } f^\bullet \rightarrow C f^\bullet \rightarrow 0$ *coincide com* $-H^i \delta_{f^\bullet}^\bullet: H^i C f^\bullet \rightarrow H^i K[1]^\bullet$.

Demonstração. Por (3.3.1), o morfismo $H^i C f^\bullet \rightarrow H^{i+1} K^\bullet$ é o único morfismo que faz o diagrama à esquerda comutativo, onde o morfismo δ do

$H^i C f^\bullet \rightarrow H^{i+1} K^\bullet$ Lema 2.22 (da serpente) é dado pela regra (2.22.2).

Utilizando o diagrama abaixo, onde as setas ponti-

lhadas são respectivamente a injeção $\gamma := \begin{bmatrix} 0 & 0 \\ 1 & 0 \\ 0 & 1 \end{bmatrix}$ e a

projecção $[1 \ 0 \ 0]$ dos biprodutos, podemos calcular

$$\begin{array}{ccc} H^i C f^\bullet & \longrightarrow & H^{i+1} K^\bullet \\ \uparrow & & \alpha_{K^\bullet}^{i+1} \downarrow \\ Z^i C f^\bullet & \xrightarrow{\delta} & C o d_{K^\bullet}^i \end{array}$$

$$\begin{array}{ccccccc}
 & & & & Z^i C f^\bullet & & \\
 & & & & \downarrow \ker d_{C f^\bullet}^i & & \\
 0 & \longrightarrow & K^i & \longrightarrow & \text{Cyl } f^i & \xrightarrow{\gamma} & C f^i \longrightarrow 0 \\
 & & \downarrow d_{K^\bullet}^i & & \downarrow d_{\text{Cyl } f^\bullet}^i & & \downarrow d_{C f^\bullet}^i \\
 0 & \longrightarrow & K^{i+1} & \xrightarrow{[1 \ 0 \ 0]} & \text{Cyl } f^{i+1} & \longrightarrow & C f^{i+1} \longrightarrow 0 \\
 & & \downarrow \text{co } d_{K^\bullet}^i & & & & \\
 & & \text{Co } d_{K^\bullet}^i & & & &
 \end{array}$$

$$\begin{aligned}
 \delta &= \text{co } d_{K^\bullet}^i \cdot [1 \ 0 \ 0] \begin{bmatrix} d_{K^\bullet}^i & -1 & 0 \\ 0 & d_{K[1]^\bullet}^i & 0 \\ 0 & g[1]^i & d_{L^\bullet}^i \end{bmatrix} \begin{bmatrix} 0 & 0 \\ 1 & 0 \\ 0 & 1 \end{bmatrix} \ker d_{C f^\bullet}^i = \\
 &= \text{co } d_{K^\bullet}^i \cdot [-1 \ 0] \ker d_{C f^\bullet}^i = \text{co } d_{K^\bullet}^i \cdot (-\delta_{f^\bullet}) \ker d_{C f^\bullet}^i.
 \end{aligned}$$

Portanto, pela Observação 5.2.1, o morfismo $H^i C f^\bullet \rightarrow H^{i+1} K^\bullet = H^i K[1]^\bullet$ em questão é o único no diagrama comutativo abaixo à esquerda que, por sua vez, faz parte do diagrama comutativo abaixo à direita.

$$\begin{array}{ccc}
 H^i C f^\bullet \rightarrow H^i K[1]^\bullet & & Z^i K[1]^\bullet \xrightarrow{\quad} H^i K[1]^\bullet \\
 \uparrow & & \downarrow \ker d_{K[1]}^i & & \downarrow \alpha_{K[1]}^i \\
 Z^i C f^\bullet & \xrightarrow{\text{Co } d_{K[1]}^{i-1}} & H^i C f^\bullet & & H^i(-\delta_f^\bullet) \\
 \downarrow \ker d_{Cf}^i & & \downarrow \text{co } d_{K[1]}^{i-1} & & \downarrow \alpha_{Cf}^i \\
 C f^i \xrightarrow{-\delta_f^i} K[1]^i & & K[1]^i \xrightarrow{\text{co } d_{K[1]}^{i-1}} \text{Co } d_{Cf}^{i-1} & & \text{Co } d_{K[1]}^{i-1} \\
 & & \downarrow \ker d_{Cf}^i & & \downarrow \alpha_{Cf}^i \\
 & & C f^i \xrightarrow{-\delta_f^i} C f^i & & C f^i \xrightarrow{\text{co } d_{Cf}^{i-1}} \text{Co } d_{Cf}^{i-1}
 \end{array}$$

Este último expressa uma parte da naturalidade do diagrama do Lema 3.2.4 em relação ao morfismo $-\delta_f^\bullet$. ■

5.3. Triângulos em $K^* \mathcal{C}$. Seja \mathcal{C} uma categoria abeliana. Do ponto de vista cohomológico, o conceito de sequência curta exata em $\text{Kom}^* \mathcal{C}$ não parece muito adequado (em $K^* \mathcal{C}$ este não faz muito sentido). Por exemplo, os morfismos δ_E^i na sequência longa exata são definidos de maneira sofisticada, o que dificulta o cálculo de cohomologias e de morfismos entre si. Um outro defeito é que não podemos incluir um morfismo arbitrário entre complexos numa sequência curta exata. Um conceito mais simétrico, e portanto mais adequado, é o de triângulo.

5.3.1. Definição. Um morfismo f^\bullet na categoria $\text{Kom}^* \mathcal{C}$ ou $\mathbb{K}^* \mathcal{C}$ se chama **quase isomorfismo** se $H^i f^\bullet$ é isomorfismo para todo i .

5.3.2. Definição. Seja \mathcal{K} uma categoria munida de um automorfismo $[1] : \mathcal{K} \rightarrow \mathcal{K}$. Um diagrama do tipo $K \xrightarrow{f} L \xrightarrow{g} M \xrightarrow{h} K[1]$

se chama **triângulo** em \mathcal{K} . O diagrama comutativo

$$\begin{array}{ccccccc} K & \xrightarrow{f} & L & \xrightarrow{g} & M & \xrightarrow{h} & K[1] \\ \downarrow k & & \downarrow l & & \downarrow m & & \downarrow k[1] \\ K_1 & \xrightarrow{f_1} & L_1 & \xrightarrow{g_1} & M_1 & \xrightarrow{h_1} & K_1[1] \end{array}$$

descreve um **morfismo** entre triângulos. Claro que este é um isomorfismo se e só se k, l, m são isomorfismos.

5.3.3. Definição. Pela Observação 5.2.1, a cada triângulo

$K^\bullet \xrightarrow{f^\bullet} L^\bullet \xrightarrow{g^\bullet} M^\bullet \xrightarrow{h^\bullet} K[1]^\bullet$ na categoria $\text{Kom}^* \mathcal{C}$ ou $\mathbb{K}^* \mathcal{C}$, onde \mathcal{C} é uma categoria abeliana, podemos associar a **H^\bullet -sequência**

$$\dots \xrightarrow{H^{i-1} h^\bullet} H^i K^\bullet \xrightarrow{H^i f^\bullet} H^i L^\bullet \xrightarrow{H^i g^\bullet} H^i M^\bullet \xrightarrow{H^i h^\bullet}$$

$$\xrightarrow{H^i h^\bullet} H^{i+1} K^\bullet \xrightarrow{H^{i+1} f^\bullet} H^{i+1} L^\bullet \xrightarrow{H^{i+1} g^\bullet} H^{i+1} M^\bullet \xrightarrow{H^{i+1} h^\bullet} H^{i+2} K^\bullet \dots$$

Claro que todo morfismo entre triângulos induz um morfismo entre as correspondentes H^\bullet -sequências. Qualquer triângulo em $K^* \mathcal{C}$ isomorfo ao triângulo $K^\bullet \xrightarrow{f^\bullet} L^\bullet \rightarrow C f^\bullet \rightarrow K[1]^\bullet$ é dito **distinguido**.

5.3.4. Observação. Pelo Lema 5.2.2, qualquer triângulo distinguido em $K^* \mathcal{C}$ é isomorfo em $K^* \mathcal{C}$ ao triângulo do tipo $K^\bullet \rightarrow \text{Cyl } f^\bullet \rightarrow C f^\bullet \rightarrow K[1]^\bullet$, distinguido em $K^* \mathcal{C}$, pois o diagrama

$$\begin{array}{ccccccc}
 K^\bullet & \xrightarrow{f^\bullet} & L^\bullet & \longrightarrow & C f^\bullet & \longrightarrow & K[1]^\bullet \\
 1_{K^\bullet} \downarrow & & \beta_{f^\bullet} \cdot \left(K^* \right) \cdot \alpha_{f^\bullet} & & \downarrow 1_{C f^\bullet} & & \downarrow 1_{K[1]^\bullet} \\
 K^\bullet & \longrightarrow & \text{Cyl } f^\bullet & \longrightarrow & C f^\bullet & \longrightarrow & K[1]^\bullet
 \end{array}$$

é comutativo em $\text{Kom}^* \mathcal{C}$, com a única exceção em que $\alpha_{f^\bullet} \cdot \beta_{f^\bullet}$ é apenas homotópico a 1. Assim, a H^\bullet -sequência de um triângulo distinguido em $\text{Kom}^* \mathcal{C}$ ou $K^* \mathcal{C}$ é exata pelos Lemas 5.2.2 e 5.2.4. Em particular, f^\bullet é um quase isomorfismo se e só se $C f^\bullet$ é acíclico, isto é, se $H^\bullet C f^\bullet = 0$ ■

5.3.5. Observação. Seja $0 \rightarrow K^\bullet \xrightarrow{f^\bullet} L^\bullet \xrightarrow{g^\bullet} M^\bullet \rightarrow 0$ uma sequência exata em $\text{Kom}^* \mathcal{C}$. Então no diagrama abaixo comutativo em $\text{Kom}^* \mathcal{C}$, as setas verticais são quase isomorfismos.

$$\begin{array}{ccccccc}
0 & \rightarrow & K^\bullet & \longrightarrow & \text{Cyl } f^\bullet & \longrightarrow & C f^\bullet \rightarrow 0 \\
& & \downarrow 1_{K^\bullet} & & \downarrow \beta_{f^\bullet} & & \downarrow [0 g^\bullet] \\
0 & \rightarrow & K^\bullet & \xrightarrow{f^\bullet} & L^\bullet & \xrightarrow{g^\bullet} & M^\bullet \rightarrow 0
\end{array}$$

Demonstração. Temos $[0 g^\bullet] d_{C f^\bullet}^\bullet = [0 g^\bullet] \begin{bmatrix} d_{K[1]}^\bullet & 0 \\ f[1]^\bullet & d_{L^\bullet}^\bullet \end{bmatrix} = [0 g^\bullet d_{L^\bullet}^\bullet] = d_{M^\bullet}^\bullet [0 g^\bullet]$, pois $g^\bullet f^\bullet = 0$. Logo, $[0 g^\bullet]$ é um morfismo. Pelo Lema 5.2.2 e devido a $g^\bullet \beta_{f^\bullet} = g^\bullet [f^\bullet \circ 1] = [0 g^\bullet] \begin{bmatrix} 0 & 1 & 0 \\ 0 & 0 & 1 \end{bmatrix}$, o diagrama é comutativo, com linhas exatas e $1_{K^\bullet}, \beta_{f^\bullet}$ são quase isomorfismos. Pelo Corolário 2.25 (5-lema), $[0 g^\bullet]$ é um quase isomorfismo ■

5.4. Categoria derivada. Dada uma categoria abeliana \mathcal{C} , a **categoria derivada** $D^* \mathcal{C}$ é a categoria de frações $\text{Kom}^* \mathcal{C}[S^{-1}]$, onde S é a coleção de todos os quase isomorfismos em $\text{Kom}^* \mathcal{C}$. Já que o funtor $Q : \text{Kom}^* \mathcal{C} \rightarrow \text{Kom}^* \mathcal{C}[S^{-1}]$ manda morfismos homotópicos para iguais (vide o Lema 5.4.2), $D^* \mathcal{C}$ coincide com a categoria de frações $K^* \mathcal{C}[S^{-1}]$. Essa última pode ser construída pela subseção 5.1.

5.4.1. Proposição. *Seja \mathcal{C} uma categoria abeliana. A coleção de todos os quase isomorfismos em $K^* \mathcal{C}$ satisfaz as condições A, A', B e B'. A condição C vale para as subcategorias completas $K^- \mathcal{C} \subset K \mathcal{C}$ e $K^b \mathcal{C} \subset K^+ \mathcal{C}$. A condição C' vale para as subcategorias completas $K^+ \mathcal{C} \subset K \mathcal{C}$ e $K^b \mathcal{C} \subset K^- \mathcal{C}$.*

Demonstração. A. Seja s^\bullet um quase isomorfismo no diagrama

$K^\bullet \xrightarrow{f^\bullet} L^\bullet \xleftarrow{s^\bullet} M^\bullet$. Temos $\begin{bmatrix} 0 \\ f^\bullet \end{bmatrix}$, o morfismo composto $K^\bullet \xrightarrow{f^\bullet} L^\bullet \xrightarrow{\begin{bmatrix} 0 \\ 1 \end{bmatrix}} C s^\bullet$. Pela Observação 5.3.4, a H^\bullet -sequência do triângulo distinguido

$K^\bullet \xrightarrow{\begin{bmatrix} 0 \\ f^\bullet \end{bmatrix}} C s^\bullet \rightarrow C \begin{bmatrix} 0 \\ f^\bullet \end{bmatrix} \xrightarrow{[1 \ 0 \ 0]} K[1]^\bullet$ é exata e $H^\bullet C s^\bullet = 0$. Logo, $[1 \ 0 \ 0]$ é um quase isomorfismo.

O operador de bordo do complexo $C \begin{bmatrix} 0 \\ f^\bullet \end{bmatrix}$ tem a

forma $\begin{bmatrix} d_{K[1]^\bullet} & 0 & 0 \\ 0 & d_{M[1]^\bullet} & 0 \\ f[1]^\bullet & s[1]^\bullet & d_{L^\bullet} \end{bmatrix}$. Portanto,

$\begin{bmatrix} d_{K^\bullet} & 0 & 0 \\ 0 & d_{M^\bullet} & 0 \\ -f^\bullet & -s^\bullet & d_{L[-1]^\bullet} \end{bmatrix}$ é o operador de bordo do

$$\begin{array}{ccc} K^\bullet & \xleftarrow{[1 \ 0 \ 0]} & C \begin{bmatrix} 0 \\ f^\bullet \end{bmatrix} [-1] \\ \downarrow f^\bullet & & \downarrow [0 \ -1 \ 0] \\ L^\bullet & \xleftarrow{s^\bullet} & M^\bullet \end{array}$$

complexo $C \begin{bmatrix} 0 \\ f^\bullet \end{bmatrix} [-1]$.

De $[0 \ -1 \ 0] \begin{bmatrix} d_K^\bullet & 0 & 0 \\ 0 & d_M^\bullet & 0 \\ -f^\bullet & -s^\bullet & d_{L[-1]}^\bullet \end{bmatrix} = d_M^\bullet [0 \ -1 \ 0]$ segue que $[0 \ -1 \ 0]$ é um morfismo no diagrama acima à esquerda. De $[f^\bullet \ s^\bullet \ 0] = d_L^\bullet [0 \ 0 \ -1] + [0 \ 0 \ -1] \begin{bmatrix} d_K^\bullet & 0 & 0 \\ 0 & d_M^\bullet & 0 \\ -f^\bullet & -s^\bullet & d_{L[-1]}^\bullet \end{bmatrix}$ segue que este diagrama é comutativo em $\mathbb{K}^* \mathcal{C}$, pois $[0 \ 0 \ -1]$ é uma homotopia.

A'. Seja s^\bullet um quase isomorfismo no diagrama $L^\bullet \xleftarrow{f^\bullet} K^\bullet \xrightarrow{s^\bullet} M^\bullet$. O morfismo composto $C s^\bullet[-1] \xrightarrow{[1 \ 0]} K^\bullet \xrightarrow{f^\bullet} L^\bullet$ gera o triângulo distinguido

$C s^\bullet[-1] \xrightarrow{[f^\bullet \ 0]} L^\bullet \xrightarrow{\begin{bmatrix} 0 \\ 0 \\ 1 \end{bmatrix}} C[f^\bullet \ 0] \rightarrow C s^\bullet$. Pela Observação 5.3.4, $\begin{bmatrix} 0 \\ 0 \\ 1 \end{bmatrix}$ é um quase isomorfismo.

$$\begin{array}{ccc} L^\bullet & \xrightarrow{\begin{bmatrix} 0 \\ 0 \\ 1 \end{bmatrix}} & C[f^\bullet \ 0] \\ \uparrow f^\bullet & & \uparrow \begin{bmatrix} 0 \\ -1 \\ 0 \end{bmatrix} \\ K^\bullet & \xrightarrow{s^\bullet} & M^\bullet \end{array}$$

O operador de bordo do complexo $C[f^\bullet \ 0]$ tem a forma $\begin{bmatrix} d_{K[1]}^\bullet & 0 & 0 \\ s[1]^\bullet & d_M^\bullet & 0 \\ f[1]^\bullet & 0 & d_L^\bullet \end{bmatrix}$. Resta observar que $\begin{bmatrix} 0 \\ -1 \\ 0 \end{bmatrix}$ é um morfismo no diagrama à direita, comutativo em $\mathbb{K}^* \mathcal{C}$ por meio da homotopia $\begin{bmatrix} 1 \\ 0 \\ 0 \end{bmatrix}$:

$$\begin{bmatrix} d_{K[1]} \bullet & 0 & 0 \\ s[1] \bullet & d_M \bullet & 0 \\ f[1] \bullet & 0 & d_L \bullet \end{bmatrix} \begin{bmatrix} 0 \\ -1 \\ 0 \end{bmatrix} = \begin{bmatrix} 0 \\ -1 \\ 0 \end{bmatrix} d_M \bullet \text{ e } \begin{bmatrix} 0 \\ s[1] \bullet \\ f[1] \bullet \end{bmatrix} = \begin{bmatrix} d_{K[1]} \bullet & 0 & 0 \\ s[1] \bullet & d_M \bullet & 0 \\ f[1] \bullet & 0 & d_L \bullet \end{bmatrix} \begin{bmatrix} 1 \\ 0 \\ 0 \end{bmatrix} + \begin{bmatrix} 1 \\ 0 \\ 0 \end{bmatrix} d_K \bullet.$$

B. Seja s^\bullet um quase isomorfismo no diagrama $M^\bullet \xleftarrow{s^\bullet} L^\bullet \xleftarrow{f^\bullet} K^\bullet$ tal que

$s^\bullet f^\bullet = d_M \bullet h^\bullet + h^\bullet d_K \bullet$ para alguma homotopia h^\bullet . Então $C s^\bullet[-1] \xleftarrow{\begin{bmatrix} f^\bullet \\ -h^\bullet \end{bmatrix}} K^\bullet$

é um morfismo, pois $\begin{bmatrix} f^\bullet \\ -h^\bullet \end{bmatrix} d_K \bullet = \begin{bmatrix} d_L \bullet f^\bullet \\ d_M \bullet h^\bullet - s^\bullet f^\bullet \end{bmatrix} = \begin{bmatrix} d_L \bullet & 0 \\ -s^\bullet & d_{M[-1]} \bullet \end{bmatrix} \begin{bmatrix} f^\bullet \\ -h^\bullet \end{bmatrix}$ e

$\begin{bmatrix} d_L \bullet & 0 \\ -s^\bullet & d_{M[-1]} \bullet \end{bmatrix}$ é o operador de bordo do complexo $C s^\bullet[-1]$. O morfismo

composto $C s^\bullet[-1] \xleftarrow{\begin{bmatrix} f^\bullet \\ -h^\bullet \end{bmatrix}} K^\bullet \leftarrow C \begin{bmatrix} f^\bullet \\ -h^\bullet \end{bmatrix} [-1]$ é homotópico a 0 pelo

Lema 5.2.2. Pela Obsevação 5.3.4, $K^\bullet \leftarrow C \begin{bmatrix} f^\bullet \\ -h^\bullet \end{bmatrix} [-1]$ é um quase isomorfismo. Resta observar que f^\bullet é o morfismo composto

$$L^\bullet \xleftarrow{[1 \ 0]} C s^\bullet[-1] \xleftarrow{\begin{bmatrix} f^\bullet \\ -h^\bullet \end{bmatrix}} K^\bullet.$$

B'. Seja s^\bullet um quase isomorfismo no diagrama $M^\bullet \xrightarrow{s^\bullet} K^\bullet \xrightarrow{f^\bullet} L^\bullet$ tal que

$f^\bullet s^\bullet = d_L \bullet h^\bullet + h^\bullet d_M \bullet$ para alguma homotopia h^\bullet . Então $C s^\bullet \xrightarrow{[h^\bullet \ f^\bullet]} L^\bullet$ é um

morfismo, pois $d_L \bullet [h^\bullet \ f^\bullet] = [f^\bullet s^\bullet - h^\bullet d_M \bullet \ f^\bullet d_K \bullet] = [h^\bullet \ f^\bullet] \begin{bmatrix} d_{M[1]} \bullet & 0 \\ s[1] \bullet & d_K \bullet \end{bmatrix}.$

O morfismo composto $C s^\bullet \xrightarrow{[h^\bullet f^\bullet]} L^\bullet \rightarrow C[h^\bullet f^\bullet]$ é homotópico a 0 pelo Lema 5.2.2. Pela Obsevação 5.3.4, $L^\bullet \rightarrow C[h^\bullet f^\bullet]$ é um quase isomorfismo.

Resta observar que f^\bullet é o morfismo composto $K^\bullet \xrightarrow{\begin{bmatrix} 0 \\ 1 \end{bmatrix}} C s^\bullet \xrightarrow{[h^\bullet f^\bullet]} L^\bullet$.

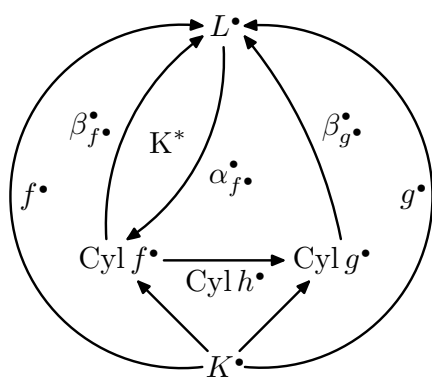
C. Seja $L_0^\bullet \xleftarrow{s^\bullet} K^\bullet$ um quase isomorfismo em $K\mathcal{C}$ (ou em $K^+\mathcal{C}$) com $L_0^\bullet \in K^-\mathcal{C}$ (ou $L_0^\bullet \in K^b\mathcal{C}$). Então existe um índice i_1 tal que $L_0^i = 0$ para todo $i > i_1$. O quase isomorfismo $g^\bullet: K_0^\bullet \rightarrow K^\bullet$ é dado pelo diagrama abaixo, onde $K_0^\bullet \in K^-\mathcal{C}$ (ou $K_0^\bullet \in K^b\mathcal{C}$).

$$\begin{array}{cccccccc}
 \dots & \rightarrow & K^{i_1-2} & \rightarrow & K^{i_1-1} & \rightarrow & Z^{i_1} K^\bullet & \rightarrow & 0 & \longrightarrow & \dots \\
 & & \downarrow & & \downarrow & & \downarrow & & \downarrow & & \\
 \dots & \rightarrow & K^{i_1-2} & \rightarrow & K^{i_1-1} & \rightarrow & K^{i_1} & \rightarrow & K^{i_1+1} & \rightarrow & \dots \\
 \dots & \rightarrow & L^{i_0-2} & \rightarrow & L^{i_0-1} & \rightarrow & L^{i_0} & \rightarrow & L^{i_0+1} & \rightarrow & \dots \\
 & & \downarrow & & \downarrow & & \downarrow & & \downarrow & & \\
 \dots & \rightarrow & 0 & \rightarrow & B^{i_0} L^\bullet & \rightarrow & L^{i_0} & \rightarrow & L^{i_0+1} & \rightarrow & \dots
 \end{array}$$

C'. Seja $K_0^\bullet \xrightarrow{s^\bullet} L^\bullet$ um quase isomorfismo em $K\mathcal{C}$ (ou em $K^-\mathcal{C}$) com $K_0^\bullet \in K^+\mathcal{C}$ (ou $K_0^\bullet \in K^b\mathcal{C}$). Então existe um índice i_0 tal que $K_0^i = 0$ para todo $i < i_0$. O quase isomorfismo $g^\bullet: L^\bullet \rightarrow L_0^\bullet$ é dado pelo diagrama acima, onde $L_0^\bullet \in K^+\mathcal{C}$ (ou $L_0^\bullet \in K^b\mathcal{C}$) ■

5.4.2. Lema. *Seja $Q : \text{Kom}^* \mathcal{C} \rightarrow \mathcal{Q}$ um functor que manda todos os quase isomorfismos para isomorfismos e seja $h^\bullet : f^\bullet \rightarrow g^\bullet$ uma homotopia. Então $Qf^\bullet = Qg^\bullet$.*

Demonstração. No diagrama à direita, temos $\beta_{g^\bullet}^\bullet \text{Cyl } h^\bullet \alpha_{f^\bullet}^\bullet = [g^\bullet \ 0 \ 1]$
 $\begin{bmatrix} 1 & 0 & 0 \\ 0 & 1 & 0 \\ 0 & h^\bullet & 1 \end{bmatrix} \begin{bmatrix} 0 \\ 0 \\ 1 \end{bmatrix} = 1$. Portanto, pelos Lema 5.2.2 e 5.2.3, este diagrama é comutativo em $\text{Kom}^* \mathcal{C}$, com a única exceção em que $\alpha_{f^\bullet}^\bullet \beta_{f^\bullet}^\bullet$ é apenas homotópico a 1. Após aplicar o functor Q , o diagrama fica comutativo implicando o resultado ■



5.4.3. Definição. Seja \mathcal{C} uma categoria abeliana. Denotamos por S a coleção de todos os quase isomorfismos em $\text{Kom}^* \mathcal{C}$. A categoria $\text{Kom}^* \mathcal{C}[S^{-1}]$ é a **categoria derivada** de \mathcal{C} , denotada por $D^* \mathcal{C}$.

Do Lema 5.4.2 e da Proposição 5.4.1 segue que a categoria de frações de $\text{Kom}^* \mathcal{C}$ por quase isomorfismos é uma subcategoria completa de $D^* \mathcal{C}$. Pela universalidade do functor $Q : \text{Kom}^* \mathcal{C} \rightarrow D^* \mathcal{C}$, obtemos o functor

$H^\bullet : D^* \mathcal{C} \rightarrow \text{Kom}_0^* \mathcal{C}$. A mesma universalidade induz o funtor $[1]$, um automorfismo da categoria $D^* \mathcal{C}$. Claro que $H^i K[n]^\bullet = H^{i+n} K^\bullet$ para todo $K^\bullet \in D^* \mathcal{C}$.

5.5. Funtores Ext. Dizemos que $K^\bullet \in D\mathcal{C}$ é um **H^0 -objeto** se $H^i K^\bullet = 0$ para todo $i \neq 0$. Para qualquer $C \in \mathcal{C}$, denotamos por $C[0] \in \text{Kom}^b \mathcal{C}$ o complexo dado pela regra $C[0]^0 := C$ e $C[0]^i := 0$ para todo $i \neq 0$.

Definamos o funtor $Q[0] : \mathcal{C} \rightarrow D\mathcal{C}$ como $C \mapsto QC[0]$. Combinando este funtor com o funtor de shift (não importa em qual das categorias $\text{Kom} \mathcal{C}$

ou $D\mathcal{C}$), obtemos o funtor $Q[n] : \mathcal{C} \rightarrow D\mathcal{C}$ que produz o complexo concentrado na $(-n)$ -ésima posição. Definimos o bifuntor $\text{Ext}_{\mathcal{C}}^i$ como $\text{Ext}_{\mathcal{C}}^i(C_1, C_2) := D\mathcal{C}(QC_1, QC_2[i])$ para todos $C_1, C_2 \in \mathcal{C}$. O funtor de shift induz a identificação $\text{Ext}_{\mathcal{C}}^i(C_1, C_2) = D\mathcal{C}(QC_1[n], QC_2[n+i])$.

Temos o produto biaditivo

$$\text{Ext}_{\mathcal{C}}^j(C_2, C_3) \times \text{Ext}_{\mathcal{C}}^i(C_1, C_2) \rightarrow \text{Ext}_{\mathcal{C}}^{i+j}(C_1, C_3),$$

chamado **produto de Yoneda**, induzido pela composição

$$\begin{aligned} D\mathcal{C}(QC_2[n+i], QC_3[n+i+j]) \times D\mathcal{C}(QC_1[n], QC_2[n+i]) &\rightarrow \\ &\rightarrow D\mathcal{C}(QC_1[n], QC_3[n+i+j]). \end{aligned}$$

Note que essa definição independe da escolha de n . Daí segue que o produto de Yoneda é associativo.

Seja $i > 0$, sejam $C_1, C_2 \in \mathcal{C}$ e seja $K^\bullet \in \text{Kom}^b \mathcal{C}$ um complexo acíclico. Suponhamos que $K^j = 0$ para todo $j > 1$ ou $j < -i$ e que $K^{-i} = C_2$ e $K^1 = C_1$. Neste caso, chamamos K^\bullet de **i -ésima extensão** de C_2 por meio de C_1 . Assim, uma i -ésima extensão de C_2 por meio de C_1 é nada mais do que uma sequência exata

$$0 \leftarrow C_1 \leftarrow K^0 \leftarrow \dots \leftarrow K^{-i+1} \leftarrow C_2 \leftarrow 0$$

Definamos o complexo \tilde{K}^\bullet fazendo $\tilde{K}^j := K^j$ para $0 \geq j > -i$, $\tilde{K}^{-i} := C_2$ e $\tilde{K}^{-j} := 0$ para outros j com um óbvio operador de bordo. Os morfismos $C_1 \leftarrow K^0$ e 1_{C_2} definem as setas $C_1[0] \xleftarrow{s^\bullet} \tilde{K}^\bullet \xrightarrow{f^\bullet} C_2[i]$. É fácil ver que s^\bullet é um quase isomorfismo. Logo, obtemos $y(K^\bullet) = f^\bullet s^{\bullet-1} \in \text{Ext}_{\mathcal{C}}^i(C_1, C_2)$. Seja $j > 0$ e seja $L^\bullet \in \text{Kom}^b \mathcal{C}$ uma j -ésima extensão de C_3 por meio de C_2 ,

$$0 \leftarrow C_2 \leftarrow L^0 \leftarrow \dots \leftarrow L^{-j+1} \leftarrow C_3 \leftarrow 0$$

Então é fácil ver que a sequência

$$0 \leftarrow C_1 \leftarrow K^0 \leftarrow \dots \leftarrow K^{-i+1} \leftarrow L^0 \xleftarrow{(-1)^i d_{L^\bullet}^{-1}} \dots \xleftarrow{(-1)^j d_{L^\bullet}^{-j+1}} L^{-j+1} \xleftarrow{(-1)^i d_{L^\bullet}^{-j}} C_3 \leftarrow 0$$

onde o morfismo $K^{-i+1} \leftarrow L^0$ é o composto $K^{-i+1} \leftarrow C_2 \leftarrow L^0$, é exata e,

portanto, define uma $(i + j)$ -ésima extensão de C_3 por meio de C_1 , denotada por $L^\bullet \circ K^\bullet$.

5.5.1. Proposição. *Seja \mathcal{C} uma categoria abeliana e sejam $C_1, C_2, C_3 \in \mathcal{C}$. Então*

1. $\text{Ext}_{\mathcal{C}}^i(C_1, C_2) = 0$ para todo $i < 0$;
2. o funtor $Q[0] : \mathcal{C} \rightarrow \text{DC}$ é uma equivalência entre \mathcal{C} e a subcategoria completa de todos os H^0 -objetos em DC ; em particular, $\text{Ext}_{\mathcal{C}}^0(C_1, C_2) = \mathcal{C}(C_1, C_2)$;
3. para todo $i > 0$, qualquer elemento em $\text{Ext}_{\mathcal{C}}^i(C_1, C_2)$ tem a forma $y(K^\bullet)$, onde K^\bullet é uma i -ésima extensão de C_2 por meio de C_1 ;
4. para $i, j > 0$, temos $y(L^\bullet \circ K^\bullet) = y(L^\bullet)y(K^\bullet)$, onde K^\bullet é uma i -ésima extensão de C_2 por meio de C_1 , isto é, $y(K^\bullet) \in \text{Ext}_{\mathcal{C}}^i(C_1, C_2)$, e L^\bullet é uma j -ésima extensão de C_3 por meio de C_2 , isto é, $y(L^\bullet) \in \text{Ext}_{\mathcal{C}}^j(C_2, C_3)$.

Demonstração. 1. Seja $i < 0$ e seja $f \bullet s^{\bullet-1} : C_1[0] \rightarrow C_2[i]$ um morfismo em DC , onde $s^\bullet : K^\bullet \rightarrow C_1[0]$ é um quase isomorfismo e $f^\bullet : K^\bullet \rightarrow C_2[i]$ é um morfismo. Então o diagrama

$$\begin{array}{cccccccc}
 \dots & \rightarrow & K^{-2} & \rightarrow & K^{-1} & \rightarrow & \dots & \rightarrow & K^{-i-2} & \rightarrow & Z^{-i-1} K^\bullet & \rightarrow & 0 & \rightarrow & \dots \\
 & & \downarrow & & \downarrow & & & & \downarrow & & \downarrow & & \downarrow & & \downarrow \\
 \dots & \rightarrow & K^{-2} & \rightarrow & K^{-1} & \rightarrow & \dots & \rightarrow & K^{-i-2} & \rightarrow & K^{-i-1} & \rightarrow & K^{-i} & \rightarrow & \dots
 \end{array}$$

define um quase isomorfismo $s_0^\bullet : L^\bullet \rightarrow K^\bullet$ tal que $f \circ s_0^\bullet = 0$.

2. Utilizando o funtor H^0 , é fácil ver que a função

$\mathcal{C}(C_1, C_2) \rightarrow \text{DC}(QC_1[0], QC_2[0])$ é injetora. Para provar que ela é sobrejetora, tomemos qualquer morfismo $f \circ s^{\bullet-1} : C_1[0] \rightarrow C_2[0]$ em DC , onde $s^\bullet : K^\bullet \rightarrow C_1[0]$ é um quase isomorfismo e $f^\bullet : K^\bullet \rightarrow C_2[0]$ é um morfismo. O diagrama

$$\begin{array}{cccccccc}
 \dots & \rightarrow & K^{-2} & \rightarrow & K^{-1} & \rightarrow & Z^0 K^\bullet & \rightarrow & 0 & \rightarrow & \dots \\
 & & \downarrow & & \downarrow & & \downarrow & & \downarrow & & \\
 \dots & \rightarrow & K^{-2} & \rightarrow & K^{-1} & \rightarrow & K^0 & \rightarrow & K^1 & \rightarrow & \dots
 \end{array}$$

define um quase isomorfismo $s_0^\bullet : L^\bullet \rightarrow K^\bullet$. Existe um único morfismo g tal

que o morfismo composto $Z^0 K^\bullet \xrightarrow{s_0^\bullet} C_1 \xrightarrow{g} C_2$ coincide com

$Z^0 K^\bullet \xrightarrow{f \circ s_0^\bullet} C_2$. Claramente, $f \circ s^{\bullet-1} \sim (f \circ s_0^\bullet)(s_0^\bullet)^{-1} \sim Qg[0]$.

Seja $K^\bullet \in \text{DC}$ um H^0 -objeto. Então o diagrama acima define um quase isomorfismo $L^\bullet \rightarrow K^\bullet$ e o morfismo $Z^0 K^\bullet \rightarrow H^0 K^\bullet$ induz um quase

isomorfismo $L^\bullet \rightarrow H^0 K^\bullet[0]$.

3. Seja $i > 0$ e seja $f^\bullet s^{\bullet-1} : C_1[0] \rightarrow C_2[i]$ um morfismo em DC , onde $s^\bullet : K^\bullet \rightarrow C_1[0]$ é um quase isomorfismo e $f^\bullet : K^\bullet \rightarrow C_2[i]$ é um morfismo. O diagrama acima define um quase isomorfismo $s_0^\bullet : L^\bullet \rightarrow K^\bullet$. Assim podemos supor que $K^j = 0$ para todo $j > 0$. O diagrama

$$\begin{array}{ccccccc} \dots & \rightarrow & K^{-i-1} & \rightarrow & K^{-i} & \rightarrow & K^{-i+1} \rightarrow K^{-i+2} \rightarrow \dots \\ & & \downarrow & & \downarrow & & \downarrow \\ \dots & \rightarrow & 0 & \rightarrow & B^{-i+1} K^\bullet & \rightarrow & K^{-i+1} \rightarrow K^{-i+2} \rightarrow \dots \end{array}$$

define um quase isomorfismo $s_0^\bullet : K^\bullet \rightarrow L^\bullet$. O morfismo $L^0 = K^0 \xrightarrow{s^0} C_1$ define um quase isomorfismo $s_1^\bullet : L^\bullet \rightarrow C_1[0]$ tal que $s_1^\bullet s_0^\bullet = s^\bullet$. De

$H^{-i} K^\bullet = 0$ segue que o morfismo $K^{-i} \xrightarrow{f^{-i}} C_2$ se fatora por algum morfismo $L^{-i} = B^{-i+1} K^\bullet \rightarrow C_2$. Em outras palavras, existe um morfismo $f_0^\bullet : L^\bullet \rightarrow C_2[i]$ tal que $f_0^\bullet s_0^\bullet = f^\bullet$. Assim podemos supor que $K^j = 0$ para todo $j < -i$ e todo $j > 0$.

Consideramos os morfismos de complexos $M^\bullet \xrightarrow{g^\bullet} L^\bullet \xleftarrow{s_0^\bullet} K^\bullet$ dados pelo diagrama

$$\begin{array}{ccccccc}
\dots & \longleftarrow & 0 & \longleftarrow & K^{-i} & \longleftarrow & K^{-i} \longleftarrow 0 \\
& & \downarrow & & \downarrow \begin{bmatrix} d_K^{-i} \\ -f^{-i} \end{bmatrix} & & \downarrow \begin{bmatrix} 1 \\ 0 \end{bmatrix} \\
0 & \longleftarrow & K^0 & \longleftarrow & \dots & \longleftarrow & K^{-i+2} & \longleftarrow & K^{-i+1} & \longleftarrow & K^{-i} & \longleftarrow & 0 \\
& & \uparrow & & \uparrow \begin{bmatrix} d_K^{-i+1} & 0 \end{bmatrix} & & \uparrow \oplus_{C_2} & & \uparrow \oplus_{C_2} & & \uparrow \begin{bmatrix} 1 \\ f^{-i} \end{bmatrix} \\
0 & \longleftarrow & K^0 & \longleftarrow & \dots & \longleftarrow & K^{-i+2} & \longleftarrow & K^{-i+1} & \longleftarrow & K^{-i} & \longleftarrow & 0 \\
& & & & & & \uparrow \begin{bmatrix} 1 \\ 0 \end{bmatrix} & & & & & &
\end{array}$$

Definimos o morfismo $f_1^\bullet : L^\bullet \rightarrow C_2[i]$ através do morfismo $L^{-i} \xrightarrow{\begin{bmatrix} 0 & 1 \end{bmatrix}} C_2$. Definimos o morfismo $s_1^\bullet : L^\bullet \rightarrow C_1[0]$ fazendo $s_1^0 = s^0$ caso $i > 1$ e $s_1^0 = \begin{bmatrix} s^0 & 0 \end{bmatrix}$ caso $i = 1$. Uma verificação direta mostra que $f_1^\bullet s_0^\bullet = f^\bullet$, que $s_1^\bullet s_0^\bullet = s^\bullet$, que s_1^\bullet é um quase isomorfismo, que $M^\bullet \xrightarrow{g^\bullet} L^\bullet$ é mono com M^\bullet acíclico, que $f_1^\bullet g^\bullet = 0$ e que $s_1^\bullet g^\bullet = 0$.

Logo, s_0^\bullet é um quase isomorfismo e $f^\bullet s^{\bullet-1} \sim f_1^\bullet s_1^{\bullet-1}$. De M^\bullet ser acíclico segue que $L^\bullet \xrightarrow{\text{co } g^\bullet} \text{Co } g^\bullet$ é um quase isomorfismo. Assim, $f_2^\bullet \text{co } g^\bullet = f_1^\bullet$ e

$s_2^\bullet \text{co } g^\bullet = s_1^\bullet$ para morfismos apropriados $\text{Co } g^\bullet \xrightarrow{f_2^\bullet} C_2[i]$ e

$\text{Co } g^\bullet \xrightarrow{s_2^\bullet} C_1[0]$. Portanto, s_2^\bullet é um quase isomorfismo e $f_1^\bullet s_1^{\bullet-1} \sim f_2^\bullet s_2^{\bullet-1}$.

Concluimos que $f \circ s^{-1} \sim y(0 \leftarrow C_1 \xleftarrow{s_2^0} \text{Co } g^\bullet)$, pois f_2^{-i} é um isomorfismo, o qual podemos considerar igual a 1_{C_2} .

4. Os diagramas $C_1[0] \xleftarrow{s_1^\bullet} \widetilde{K}^\bullet \xrightarrow{f^\bullet} C_2[i]$, $C_1[0] \xleftarrow{s_2^\bullet} \widetilde{L \circ K}^\bullet \xrightarrow{f_2^\bullet} C_3[i+j]$, $C_2[i] \xleftarrow{s^\bullet} \widetilde{L}[i]^\bullet \xrightarrow{f_1^\bullet} C_3[i+j]$ que correspondem a $y(K^\bullet)$, $y(L \circ K^\bullet)$, $y(L^\bullet)[i]$ podem ser exibidos pelos diagramas

$$\begin{array}{ccccccc}
 0 & \leftarrow & K^0 & \leftarrow & \dots & \leftarrow & K^{-i+1} \leftarrow K^{-i} \leftarrow 0 \\
 & & \downarrow & & & & \downarrow 1 \\
 & & C_1 & & & & C_2 \\
 \\
 0 & \leftarrow & K^0 & \leftarrow & \dots & \leftarrow & K^{-i+1} \leftarrow L^0 \xleftarrow{(-1)^i d_{L^\bullet}^{-1}} \dots \xleftarrow{(-1)^i d_{L^\bullet}^{-j}} L^{-j} \leftarrow 0 \\
 & & \downarrow & & & & \uparrow & \downarrow & \downarrow 1 \\
 & & C_1 & & & & K^{-i} = C_2 & & C_3 \\
 \\
 & & & & & & 0 & \leftarrow & L^0 \xleftarrow{(-1)^i d_{L^\bullet}^{-1}} \dots \xleftarrow{(-1)^i d_{L^\bullet}^{-j}} L^{-j} \leftarrow 0 \\
 & & & & & & \downarrow & & \downarrow 1 \\
 & & & & & & C_2 & & C_3
 \end{array}$$

$$\begin{array}{ccc}
 \widetilde{K}^\bullet & \xleftarrow{s'^\bullet} & \widetilde{L \circ K}^\bullet \\
 \downarrow f^\bullet & & \downarrow f'^\bullet \\
 C_2[i] & \xleftarrow{s^\bullet} & \widetilde{L}[i]^\bullet
 \end{array}$$

É fácil visualizar os morfismos s'^\bullet e f'^\bullet no diagrama comutativo à esquerda e ver que $s_1^\bullet s'^\bullet = s_2^\bullet$ e $f_1^\bullet f'^\bullet = f_2^\bullet$. Daí concluímos que s'^\bullet é um quase isomorfismo ■

5.6. Categorias pré-trianguladas.

5.6.1. Definição. Seja \mathcal{D} uma **Ab**-categoria com objeto 0 munida de um automorfismo aditivo $[1] : \mathcal{D} \rightarrow \mathcal{D}$ e seja dada uma família de triângulos em \mathcal{D} , chamados **distinguidos**, que satisfaz as seguintes propriedades:

1. Todo triângulo isomorfo a um distinguido é distinguido.
2. Para todo $K \in \mathcal{D}$, o triângulo $K \xrightarrow{1_K} K \rightarrow 0 \rightarrow K[1]$ é distinguido.
3. Todo morfismo $K \xrightarrow{f} L$ em \mathcal{D} está incluído em um triângulo distinguido $K \xrightarrow{f} L \xrightarrow{g} M \xrightarrow{h} K[1]$.
4. O triângulo $K \xrightarrow{f} L \xrightarrow{g} M \xrightarrow{h} K[1]$ é distinguido se e só se o triângulo $L \xrightarrow{g} M \xrightarrow{h} K[1] \xrightarrow{-f[1]} L[1]$ é distinguido.

5. Sejam $K \xrightarrow{f} L \xrightarrow{g} M \xrightarrow{h} K[1]$ e $K_1 \xrightarrow{f_1} L_1 \xrightarrow{g_1} M_1 \xrightarrow{h_1} K_1[1]$ triângulos distinguidos e sejam k, l dois morfismos tais que o primeiro quadrado no diagrama à direita é comutativo. Então existe um morfismo m que faz todo diagrama comutativo.

$$\begin{array}{ccccccc} K & \xrightarrow{f} & L & \xrightarrow{g} & M & \xrightarrow{h} & K[1] \\ \downarrow k & & \downarrow l & & \downarrow m & & \downarrow k[1] \\ K_1 & \xrightarrow{f_1} & L_1 & \xrightarrow{g_1} & M_1 & \xrightarrow{h_1} & K_1[1] \end{array}$$

Neste caso, a categoria \mathcal{D} se chama **pré-triangulada**.

5.6.2. Proposição. *Seja \mathcal{C} uma categoria abeliana. Então $K^* \mathcal{C}$ é uma categoria pré-triangulada.*

Demonstração. **1 e 3.** Por definição.

2. Pelo diagrama à direita, basta mostrar que $1_{C1_{K^\bullet}} \sim 0$. O operador de bordo de

$$\begin{array}{ccccccc} K^\bullet & \xrightarrow{1_{K^\bullet}} & K^\bullet & \longrightarrow & 0 & \longrightarrow & K[1]^\bullet \\ \downarrow 1_{K^\bullet} & & \downarrow 1_{K^\bullet} & & \downarrow & & \downarrow 1_{K[1]^\bullet} \\ K^\bullet & \xrightarrow{1_{K^\bullet}} & K^\bullet & \longrightarrow & C1_{K^\bullet} & \longrightarrow & K[1]^\bullet \end{array}$$

$C1_{K^\bullet}$ tem a forma $\begin{bmatrix} d_{K[1]^\bullet}^\bullet & 0 \\ 1 & d_{K^\bullet}^\bullet \end{bmatrix}$. Para a homotopia $h^\bullet = \begin{bmatrix} 0 & 1 \\ 0 & 0 \end{bmatrix}$, temos

$$\begin{bmatrix} d_{K[1]^\bullet}^\bullet & 0 \\ 1 & d_{K^\bullet}^\bullet \end{bmatrix} \begin{bmatrix} 0 & 1 \\ 0 & 0 \end{bmatrix} + \begin{bmatrix} 0 & 1 \\ 0 & 0 \end{bmatrix} \begin{bmatrix} d_{K[1]^\bullet}^\bullet & 0 \\ 1 & d_{K^\bullet}^\bullet \end{bmatrix} = \begin{bmatrix} 1 & 0 \\ 0 & 1 \end{bmatrix}.$$

4. No diagrama abaixo as setas $\begin{bmatrix} 0 & 1 & 0 \end{bmatrix}$ e $\begin{bmatrix} -f[1]^\bullet \\ 1 \\ 0 \end{bmatrix}$ são morfismos, pois

$$\begin{bmatrix} 0 & 1 & 0 \end{bmatrix} \begin{bmatrix} d_{L[1]^\bullet}^\bullet & 0 & 0 \\ 0 & d_{K[1]^\bullet}^\bullet & 0 \\ 1 & f[1]^\bullet & d_{L^\bullet}^\bullet \end{bmatrix} = d_{K[1]^\bullet}^\bullet \cdot \begin{bmatrix} 0 & 1 & 0 \end{bmatrix} \text{ e } \begin{bmatrix} d_{L[1]^\bullet}^\bullet & 0 & 0 \\ 0 & d_{K[1]^\bullet}^\bullet & 0 \\ 1 & f[1]^\bullet & d_{L^\bullet}^\bullet \end{bmatrix} \begin{bmatrix} -f[1]^\bullet \\ 1 \\ 0 \end{bmatrix} =$$

$$\begin{bmatrix} -f[1]^\bullet \\ 1 \\ 0 \end{bmatrix} d_{K[1]^\bullet}^\bullet, \text{ onde } \begin{bmatrix} d_{L[1]^\bullet}^\bullet & 0 & 0 \\ 0 & d_{K[1]^\bullet}^\bullet & 0 \\ 1 & f[1]^\bullet & d_{L^\bullet}^\bullet \end{bmatrix} \text{ é o operador de bordo de } C \begin{bmatrix} 0 \\ 1 \end{bmatrix}.$$

Claramente, $\begin{bmatrix} 0 & 1 & 0 \end{bmatrix} \begin{bmatrix} -f[1]^\bullet \\ 1 \\ 0 \end{bmatrix} = 1$. O diagrama é comutativo, com a única

$$\begin{array}{ccccccc}
 K^\bullet & \xrightarrow{f^\bullet} & L^\bullet & \xrightarrow{\begin{bmatrix} 0 \\ 1 \end{bmatrix}} & Cf^\bullet & \xrightarrow{\begin{bmatrix} 1 & 0 \end{bmatrix}} & K[1]^\bullet \xrightarrow{-f[1]^\bullet} L[1]^\bullet \\
 & & \downarrow 1_{L^\bullet} & & \downarrow 1_{Cf^\bullet} & & \uparrow [0 \ 1 \ 0] \quad \left\| \begin{bmatrix} -f[1]^\bullet \\ 1 \\ 0 \end{bmatrix} \right. \\
 & & L^\bullet & \xrightarrow{\begin{bmatrix} 0 \\ 1 \end{bmatrix}} & Cf^\bullet & \xrightarrow{\begin{bmatrix} 0 & 0 \\ 1 & 0 \\ 0 & 1 \end{bmatrix}} & C \begin{bmatrix} 0 \\ 1 \end{bmatrix}^\bullet \xrightarrow{\begin{bmatrix} 1 & 0 & 0 \end{bmatrix}} L[1]^\bullet \\
 & & & & & & \downarrow 1_{L[1]^\bullet}
 \end{array}$$

exceção em que o morfismo $\begin{bmatrix} -f[1]^\bullet \\ 1 \\ 0 \end{bmatrix} [0 \ 1 \ 0]$ é homotópico a 1 através de $h^\bullet := \begin{bmatrix} 0 & 0 & 1 \\ 0 & 0 & 0 \\ 0 & 0 & 0 \end{bmatrix}$. Realmente,

$$\begin{bmatrix} d_{L[1]}^\bullet & 0 & 0 \\ 0 & d_{K[1]}^\bullet & 0 \\ 1 & f[1]^\bullet & d_{L^\bullet}^\bullet \end{bmatrix} \begin{bmatrix} 0 & 0 & 1 \\ 0 & 0 & 0 \\ 0 & 0 & 0 \end{bmatrix} + \begin{bmatrix} 0 & 0 & 1 \\ 0 & 0 & 0 \\ 0 & 0 & 0 \end{bmatrix} \begin{bmatrix} d_{L[1]}^\bullet & 0 & 0 \\ 0 & d_{K[1]}^\bullet & 0 \\ 1 & f[1]^\bullet & d_{L^\bullet}^\bullet \end{bmatrix} + \begin{bmatrix} -f[1]^\bullet \\ 1 \\ 0 \end{bmatrix} [0 \ 1 \ 0] = \begin{bmatrix} 1 & 0 & 0 \\ 0 & 1 & 0 \\ 0 & 0 & 1 \end{bmatrix}.$$

Assim demonstramos que o triângulo $L^\bullet \xrightarrow{g^\bullet} M^\bullet \xrightarrow{h^\bullet} K[1]^\bullet \xrightarrow{-f[1]^\bullet} L[1]^\bullet$ é distinguido se o triângulo $K^\bullet \xrightarrow{f^\bullet} L^\bullet \xrightarrow{g^\bullet} M^\bullet \xrightarrow{h^\bullet} K[1]^\bullet$ é distinguido.

Suponhamos que o triângulo $L^\bullet \xrightarrow{g^\bullet} M^\bullet \xrightarrow{h^\bullet} K[1]^\bullet \xrightarrow{-f[1]^\bullet} L[1]^\bullet$ é distinguido.

Pelo fato que acabamos de mostrar, aplicado duas vezes, o triângulo $K[1] \xrightarrow{-f[1]^\bullet} L[1] \xrightarrow{-g[1]^\bullet} M[1] \xrightarrow{-h[1]^\bullet} K[2]$ é distinguido, ou seja, temos o diagrama

$$\begin{array}{ccccccc}
 K[1]^\bullet & \xrightarrow{-f[1]^\bullet} & L[1]^\bullet & \xrightarrow{-g[1]^\bullet} & M[1]^\bullet & \xrightarrow{-h[1]^\bullet} & K[2]^\bullet \\
 \downarrow k[1]^\bullet & & \downarrow l[1]^\bullet & & \downarrow m[1]^\bullet & & \downarrow k[2]^\bullet \\
 K_1^\bullet & \xrightarrow{f_1^\bullet} & L_1^\bullet & \longrightarrow & C f_1^\bullet & \longrightarrow & K_1[1]^\bullet
 \end{array}$$

comutativo, onde as setas verticais são isomorfismos. Logo, o diagrama

$$\begin{array}{ccccccc}
 K^\bullet & \xrightarrow{f^\bullet} & L^\bullet & \xrightarrow{g^\bullet} & M^\bullet & \xrightarrow{h^\bullet} & K[1]^\bullet \\
 \downarrow k^\bullet & & \downarrow l^\bullet & & \downarrow -m^\bullet & & \downarrow k[1]^\bullet \\
 K_1[-1]^\bullet & \xrightarrow{-f_1[-1]^\bullet} & L_1[-1]^\bullet & \longrightarrow & (C f_1^\bullet)[-1]^\bullet & \longrightarrow & K_1^\bullet
 \end{array}$$

é comutativo e as setas verticais são isomorfismos. Resta observar que $C(-f_1[-1]^\bullet) = (C f_1^\bullet)[-1]$.

$$\begin{array}{ccccc}
 K^\bullet & \xrightarrow{f^\bullet} & L^\bullet & \rightarrow & C f^\bullet \rightarrow K[1]^\bullet \\
 \downarrow k^\bullet & & \downarrow l^\bullet & & \downarrow k[1]^\bullet \\
 K_1^\bullet & \xrightarrow{f_1^\bullet} & L_1^\bullet & \rightarrow & C f_1^\bullet \rightarrow K_1[1]^\bullet
 \end{array}$$

$$\begin{array}{ccccccc}
 K^\bullet & \xrightarrow{f^\bullet} & L^\bullet & \rightarrow & C f^\bullet & \rightarrow & K[1]^\bullet \\
 \downarrow 1_{K^\bullet} & & \downarrow l^\bullet & & \downarrow & & \downarrow 1_{K[1]^\bullet} \\
 K^\bullet & \xrightarrow{l^\bullet f^\bullet} & L_1^\bullet & \rightarrow & C(l^\bullet f^\bullet) & \rightarrow & K[1]^\bullet \\
 \downarrow 1_{K^\bullet} & & \downarrow 1_{L_1^\bullet} & & \downarrow C h^\bullet & & \downarrow 1_{K[1]^\bullet} \\
 K^\bullet & \xrightarrow{f_1^\bullet k^\bullet} & L_1^\bullet & \rightarrow & C(f_1^\bullet k^\bullet) & \rightarrow & K[1]^\bullet \\
 \downarrow k^\bullet & & \downarrow 1_{L_1^\bullet} & & \downarrow & & \downarrow k[1]^\bullet \\
 K_1^\bullet & \xrightarrow{f_1^\bullet} & L_1^\bullet & \rightarrow & C f_1^\bullet & \rightarrow & K_1[1]^\bullet
 \end{array}$$

5. Basta considerar o diagrama à esquerda com o primeiro quadrado comutativo em $K^* \mathcal{C}$. Os Lemas 5.2.2 e 5.2.3 implicam que o diagrama à direita é comutativo em $\text{Kom}^* \mathcal{C}$ com a única exceção em que um quadrado é comutativo somente em $K^* \mathcal{C}$, pois temos uma homotopia $h^\bullet: l^\bullet f^\bullet \rightarrow f_1^\bullet k^\bullet$ ■

Seja \mathcal{K} uma categoria pré-triangulada e seja S uma coleção de morfismos, fechada relativamente à composição, que satisfaz as condições A e B (ou A' e B'). Dizemos que S é **compatível** com a triangulação se são válidas as condições seguintes:

D. $S[1] = S$.

E. Suponhamos que, no diagrama do axioma 5 na Definição 5.6.1, as linhas são triângulos distinguidos e os morfismos $k, l \in S$ fazem o primeiro quadrado comutativo. Então existe $m \in S$ que faz todo o diagrama comutativo.

Pelas condições D e universalidade do funtor $Q : \mathcal{K} \rightarrow \mathcal{K}[S^{-1}]$, obtemos o automorfismo induzido $[1] : \mathcal{K}[S^{-1}] \rightarrow \mathcal{K}[S^{-1}]$. É claro que $(fs^{-1})[1] = f[1](s[1])^{-1}$ para $s \in S$. Escrevendo morfismos em $\mathcal{K}[S^{-1}]$ com um denominador comum, podemos ver que $[1]$ é aditivo em $\mathcal{K}[S^{-1}]$. Um triângulo Δ' em $\mathcal{K}[S^{-1}]$ é **distinguido** se ele é isomorfo a $Q\Delta$, onde Δ é um triângulo distinguido em \mathcal{K} .

Pela Proposição 5.6.2, pela Observação 5.3.4 e pelo Corolário 2.25 (5-lema), as condições D e E são válidas para $\mathcal{K} := \mathbb{K}^* \mathcal{C}$ e para a coleção S de todos os quase isomorfismos, onde \mathcal{C} é uma categoria abeliana.

5.6.3. Lema. *Seja \mathcal{K} uma categoria pré-triangulada e seja S uma coleção de morfismos compatível com a triangulação. Então $\mathcal{K}[S^{-1}]$ é uma categoria pré-triangulada.*

Demonstração. **1, 2 e 4.** Por definição.

3. Sejam $s : K \rightarrow K_1$ e $f : K \rightarrow K_2$ morfismos em \mathcal{K} e $s \in S$, isto é, $fs^{-1} : K_1 \rightarrow K_2$ é um morfismo em $\mathcal{K}[S^{-1}]$. Existe um triângulo $K \xrightarrow{f} K_2 \rightarrow L \xrightarrow{g} K[1]$ distinguido em \mathcal{K} . No diagrama à direita, temos o isomorfismo de triângulos em $\mathcal{K}[S^{-1}]$.

$$\begin{array}{ccccccc} K & \xrightarrow{f} & K_2 & \rightarrow & L & \xrightarrow{g} & K[1] \\ \downarrow s & & \downarrow 1_{K_2} & & \downarrow 1_L & & \downarrow s[1] \\ K_1 & \xrightarrow{fs^{-1}} & K_2 & \rightarrow & L & \xrightarrow{s[1]g} & K_1[1] \end{array}$$

5. Basta considerar os triângulos $K \xrightarrow{f} L \xrightarrow{g} M \xrightarrow{h} K[1]$ e $K_1 \xrightarrow{f_1} L_1 \xrightarrow{g_1} M_1 \xrightarrow{h_1} K_1[1]$ distinguidos em \mathcal{K} . Seja dado um quadrado comutativo em $\mathcal{K}[S^{-1}]$ exibido no diagrama à esquerda, onde $s, s_0 \in S$. Pela condição A, podemos encontrar $s' \in S$ e f' tais que $(fs_0)s' = sf'$. Denotando por s_0 a seta s_0s' e por k a seta ks' , obtemos o diagrama à direita com o quadrado em cima comutativo em \mathcal{K} e o quadrado abaixo comutativo em $\mathcal{K}[S^{-1}]$. Neste diagrama as setas verticais continuam a exibir os mesmos morfismos em $\mathcal{K}[S^{-1}]$.

A comutatividade em $\mathcal{K}[S^{-1}]$ do quadrado abaixo significa que $f_1ks'' = lf's''$ para algum $s'' \in S$ apropriado. Denotando por s_0 a seta s_0s'' , por f' a seta $f's''$ e por k a seta ks'' , chegamos ao diagrama abaixo

$$\begin{array}{ccc} K & \xrightarrow{f} & L \\ \uparrow s_0 & & \uparrow s \\ K' & & L' \\ \downarrow k & & \downarrow l \\ K_1 & \xrightarrow{f_1} & L_1 \end{array} \quad \begin{array}{ccc} K & \xrightarrow{f} & L \\ \uparrow s_0 & & \uparrow s \\ K' & \xrightarrow{f'} & L' \\ \downarrow k & & \downarrow l \\ K_1 & \xrightarrow{f_1} & L_1 \end{array}$$

$$\begin{array}{ccccccc}
 K & \xrightarrow{f} & L & \xrightarrow{g} & M & \xrightarrow{h} & K[1] \\
 \uparrow s_0 & & \uparrow s & & & & \uparrow s_0[1] \\
 K' & \xrightarrow{f'} & L' & \xrightarrow{g'} & M' & \xrightarrow{h'} & K'[1] \\
 \downarrow k & & \downarrow l & & & & \downarrow k[1] \\
 K_1 & \xrightarrow{f_1} & L_1 & \xrightarrow{g_1} & M_1 & \xrightarrow{h_1} & K_1[1]
 \end{array}$$

comutativo em \mathcal{K} com as setas verticais continuando a exibir os mesmos morfismos em $\mathcal{K}[S^{-1}]$. Incluímos o morfismo f' em um triângulo distinguido $K' \xrightarrow{f'} L' \xrightarrow{g'} M' \xrightarrow{h'} K'[1]$. Pela condição E e pelo axioma 5 na Definição 5.6.1, podemos encontrar $S \ni s_1 : M' \rightarrow M$ e $m : M' \rightarrow M_1$ que fazem o diagrama à esquerda comutativo. Assim obtemos o morfismo desejado ms_1^{-1} em $\mathcal{K}[S^{-1}]$ ■

5.6.4. Teorema. *Seja \mathcal{D} uma categoria pré-triangulada, seja $C \in \mathcal{D}$ e seja $K \xrightarrow{f} L \xrightarrow{g} M \xrightarrow{h} K[1]$ um triângulo distinguido. Então as sequências*

$$\begin{array}{c}
 \dots \xrightarrow{\mathcal{D}(C, h[i-1])} \mathcal{D}(C, K[i]) \xrightarrow{\mathcal{D}(C, f[i])} \mathcal{D}(C, L[i]) \xrightarrow{\mathcal{D}(C, g[i])} \\
 \mathcal{D}(C, M[i]) \xrightarrow{\mathcal{D}(C, h[i])} \mathcal{D}(C, K[i+1]) \dots \\
 \dots \mathcal{D}(K[i], C) \xleftarrow{\mathcal{D}(f[i], C)} \mathcal{D}(L[i], C) \xleftarrow{\mathcal{D}(g[i], C)} \\
 \mathcal{D}(M[i], C) \xleftarrow{\mathcal{D}(h[i], C)} \mathcal{D}(K[i+1], C) \xleftarrow{\mathcal{D}(f[i+1], C)}
 \end{array}$$

são exatas.

Demonstração. Consideramos apenas a primeira sequência. (A segunda pode ser tratada analogamente.) Pelo axioma 4 da Definição 5.6.1, é suficiente mostrar a exatidão em $\mathcal{D}(C, L)$. Pelo axioma 5 da Definição 5.6.1, temos o diagrama comutativo à direita. Portanto, $gf = 0$.

$$\begin{array}{ccccccc} K & \xrightarrow{1_K} & K & \longrightarrow & 0 & \longrightarrow & K[1] \\ & & \downarrow 1_K & & \downarrow f & & \downarrow 1_{K[1]} \\ & & K & \xrightarrow{f} & L & \xrightarrow{g} & M \xrightarrow{h} K[1] \end{array}$$

$$\begin{array}{ccccccc} C & \longrightarrow & 0 & \longrightarrow & C[1] & \xrightarrow{-1_{C[1]}} & C[1] \\ & & \downarrow \varphi & & \downarrow \psi[1] & & \downarrow \varphi[1] \\ L & \xrightarrow{g} & M & \xrightarrow{h} & K[1] & \xrightarrow{-f[1]} & L[1] \end{array}$$

Seja dado um morfismo $\varphi : C \rightarrow L$ tal que $g\varphi = 0$. O triângulo $C \rightarrow 0 \rightarrow C[1] \xrightarrow{-1_{C[1]}} C[1]$ é distinguido pelos axiomas 2 e 4 da Definição 5.6.1. Pelo axioma 5 da Definição 5.6.1, encontramos um morfismo $\psi : C \rightarrow K$ tal que o diagrama à esquerda é comutativo. Logo, $f\psi = \varphi$ ■

5.6.5. Corolário. *Suponhamos que as linhas no diagrama comutativo à direita são triângulos distinguidos. Então m é um isomorfismo se k e l são isomorfismos. Em particular, o triângulo distinguido que inclui um morfismo dado, como no axioma 3 da*

$$\begin{array}{ccccccc} K & \xrightarrow{f} & L & \xrightarrow{g} & M & \xrightarrow{h} & K[1] \\ & & \downarrow k & & \downarrow l & & \downarrow m \\ & & K_1 & \xrightarrow{f_1} & L_1 & \xrightarrow{g_1} & M_1 \xrightarrow{h_1} K_1[1] \end{array}$$

Definição 5.6.1, é único a menos de isomorfismo.

Demonstração. Pelos Teorema 5.6.4 e Corolário 2.25 (5-lema), $\mathcal{D}(A, m) : \mathcal{D}(A, M) \rightarrow \mathcal{D}(A, M_1)$ e $\mathcal{D}(m, B) : \mathcal{D}(M_1, B) \rightarrow \mathcal{D}(M, B)$ são isomorfismos para quaisquer $A, B \in \mathcal{D}$. Fazendo $A := M_1$ e $B := M$, encontramos morfismos $\varphi : M_1 \rightarrow M$ e $\psi : M_1 \rightarrow M$ tais que $\mathcal{D}(M_1, m)\varphi = 1_{M_1}$ e $\mathcal{D}(m, M)\psi = 1_M$. Em outras palavras, $m\varphi = 1_{M_1}$ e $\psi m = 1_M$ ■

5.6.6. Corolário. *Suponhamos que as linhas no diagrama à direita são triângulos distinguidos. Para existir um morfismo entre triângulos que estende este diagrama é necessário e suficiente que $g_1 l f = 0$. Caso $\mathcal{D}(K, M_1[-1]) = 0$, tal morfismo é único.*

$$\begin{array}{ccccccc} K & \xrightarrow{f} & L & \xrightarrow{g} & M & \xrightarrow{h} & K[1] \\ & & \downarrow l & & & & \\ K_1 & \xrightarrow{f_1} & L_1 & \xrightarrow{g_1} & M_1 & \xrightarrow{h_1} & K_1[1] \end{array}$$

Demonstração. A necessidade segue da igualdade $gf = 0$ mostrada na demonstração do Teorema 5.6.4.

Suponhamos que $g_1 l f = 0$. Pelo Teorema 5.6.4, as sequências

$$\mathcal{D}(K, M_1[-1]) \rightarrow \mathcal{D}(K, K_1) \xrightarrow{\mathcal{D}(K, f_1)} \mathcal{D}(K, L_1) \xrightarrow{\mathcal{D}(K, g_1)} \mathcal{D}(K, M_1)$$

$$\mathcal{D}(L, M_1) \xleftarrow{\mathcal{D}(g, M_1)} \mathcal{D}(M, M_1) \xleftarrow{\mathcal{D}(K[1], M_1)}$$

são exatas. Utilizando a primeira, vemos que $\mathcal{D}(K, g_1)lf = 0$ implica a existência de um $k : K \rightarrow K_1$ tal que $\mathcal{D}(K, f_1)k = lf$, isto é, $f_1k = lf$. Tal k é único caso $\mathcal{D}(K, M_1[-1]) = 0$. Pelo axioma 5 da Definição 5.6.1, podemos achar um morfismo $m : M \rightarrow M_1$ que juntamente com k e l providencia um morfismo entre os triângulos. Analogamente, utilizando a segunda sequência e $\mathcal{D}(g, M_1)m = g_1l$, concluímos que m é único caso $\mathcal{D}(K[1], M_1) = 0$ (equivalente a $\mathcal{D}(K, M_1[-1]) = 0$) ■

Pelas Observações 5.3.5 e 5.3.4, qualquer sequência exata

$$0 \rightarrow K^\bullet \xrightarrow{f^\bullet} L^\bullet \xrightarrow{g^\bullet} M^\bullet \rightarrow 0$$

em $\text{Kom}^* \mathcal{C}$ se completa a um triângulo distinguido em $\text{D}^* \mathcal{C}$ e todo triângulo distinguido em $\text{D}^* \mathcal{C}$ é isomorfo a um destes.

5.6.7. Corolário. *Seja \mathcal{C} uma categoria abeliana, seja*

$E : 0 \rightarrow C_1 \xrightarrow{f} C_2 \xrightarrow{g} C_3 \rightarrow 0$ uma sequência exata em \mathcal{C} e seja $C \in \mathcal{C}$. Então temos as sequências longas exatas

$$\begin{array}{ccccccc}
\dots & \xrightarrow{\delta_{C,E}^{i-1}} & \text{Ext}_{\mathcal{C}}^i(C, C_1) & \xrightarrow{\text{Ext}_{\mathcal{C}}^i(C, f)} & \text{Ext}_{\mathcal{C}}^i(C, C_2) & \xrightarrow{\text{Ext}_{\mathcal{C}}^i(C, g)} & \\
& & & & \xrightarrow{\text{Ext}_{\mathcal{C}}^i(C, g)} & \text{Ext}_{\mathcal{C}}^i(C, C_3) & \xrightarrow{\delta_{C,E}^i} \text{Ext}_{\mathcal{C}}^{i+1}(C, C_1) \rightarrow \dots \\
\dots & \leftarrow & \text{Ext}_{\mathcal{C}}^{i+1}(C_3, C) & \xleftarrow{\delta_{E,C}^i} \text{Ext}_{\mathcal{C}}^i(C_1, C) & \xleftarrow{\text{Ext}_{\mathcal{C}}^i(f, C)} & & \\
& & \xleftarrow{\text{Ext}_{\mathcal{C}}^i(f, C)} & \text{Ext}_{\mathcal{C}}^i(C_2, C) & \xleftarrow{\text{Ext}_{\mathcal{C}}^i(g, C)} & \text{Ext}_{\mathcal{C}}^i(C_3, C) & \xleftarrow{\delta_{E,C}^{i-1}} \dots
\end{array}$$

onde os homomorfismos $\delta_{C,E}^i$ e $\delta_{E,C}^i$ são naturais em E e C .

Demonstração. Pela Observação 5.3.5, qualquer sequência $E : 0 \rightarrow K^\bullet \xrightarrow{f^\bullet} L^\bullet \xrightarrow{g^\bullet} M^\bullet \rightarrow 0$, exata em $\text{Kom}^* \mathcal{C}$, gera em $D^* \mathcal{C}$ o triângulo distinguido $K^\bullet \xrightarrow{f^\bullet} L^\bullet \xrightarrow{g^\bullet} M^\bullet \xrightarrow{h^\bullet} K[1]^\bullet$, onde o morfismo $h := [1 \ 0] [0 \ g^\bullet]^{-1}$ em $D^* \mathcal{C}$ é dado por $M^\bullet \xleftarrow{[0 \ g^\bullet]} C f^\bullet \xrightarrow{[1 \ 0]} K[1]^\bullet$ (pela Observação 5.3.5, $[0 \ g^\bullet]$ é um quase isomorfismo). Este triângulo é funtorial em E , pois um morfismo $E \rightarrow E_1$ como no diagrama abaixo à esquerda, comutativo em $\text{Kom}^* \mathcal{C}$, gera o diagrama abaixo à direita, comutativo em $\text{Kom}^* \mathcal{C}$. Pelo Teorema 5.6.4, para qualquer complexo $C^\bullet \in \text{Kom}^* \mathcal{C}$, obtemos duas seqüências longas exatas (na segunda usamos

o índice $-i$ no lugar de i). Resta pôr $C^\bullet := C[0]$, $K^\bullet := C_1[0]$, $L^\bullet := C_2[0]$,

$$\begin{array}{ccccccc} 0 & \rightarrow & K^\bullet & \xrightarrow{f^\bullet} & L^\bullet & \xrightarrow{g^\bullet} & M^\bullet \rightarrow 0 \\ & & k^\bullet \downarrow & & l^\bullet \downarrow & & m^\bullet \downarrow \\ 0 & \rightarrow & K_1^\bullet & \xrightarrow{f_1^\bullet} & L_1^\bullet & \xrightarrow{g_1^\bullet} & M_1^\bullet \rightarrow 0 \end{array}$$

$$\begin{array}{ccccc} M^\bullet & \xleftarrow{[0 \ g^\bullet]} & C & \xrightarrow{[1 \ 0]} & K[1]^\bullet \\ \downarrow m^\bullet & & \downarrow \begin{bmatrix} k[1]^\bullet & 0 \\ 0 & l^\bullet \end{bmatrix} & & \downarrow k[1]^\bullet \\ M_1^\bullet & \xleftarrow{[0 \ g_1^\bullet]} & C & \xrightarrow{[1 \ 0]} & K_1[1]^\bullet \end{array}$$

$M^\bullet := C_3[0]$ e denotar $\delta_{C,E}^i := D^* \mathcal{C}(C^\bullet, h[i])$,

$\delta_{E,C}^i := D^* \mathcal{C}(h[-i-1], C^\bullet)$ ■

Exercícios